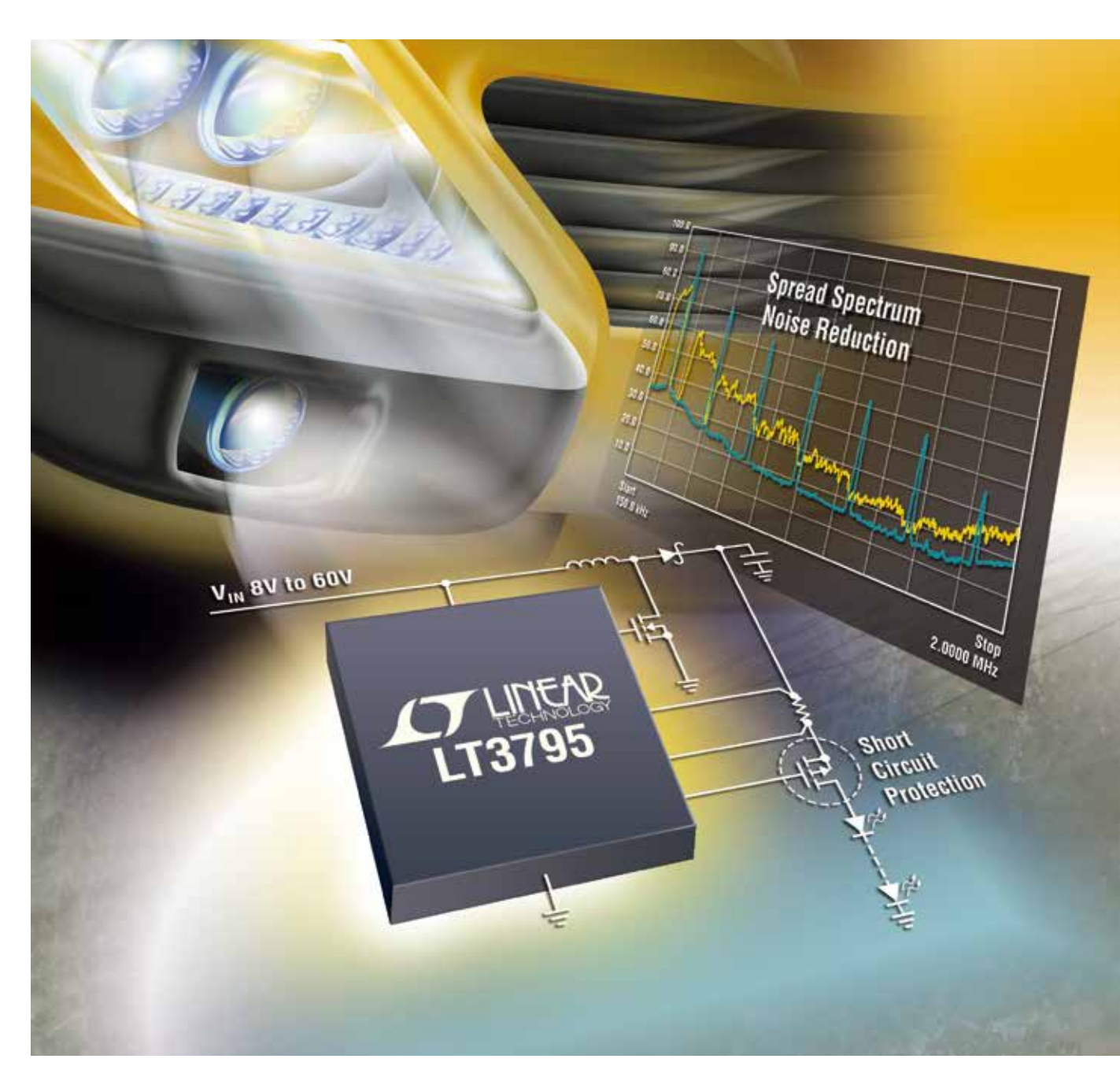
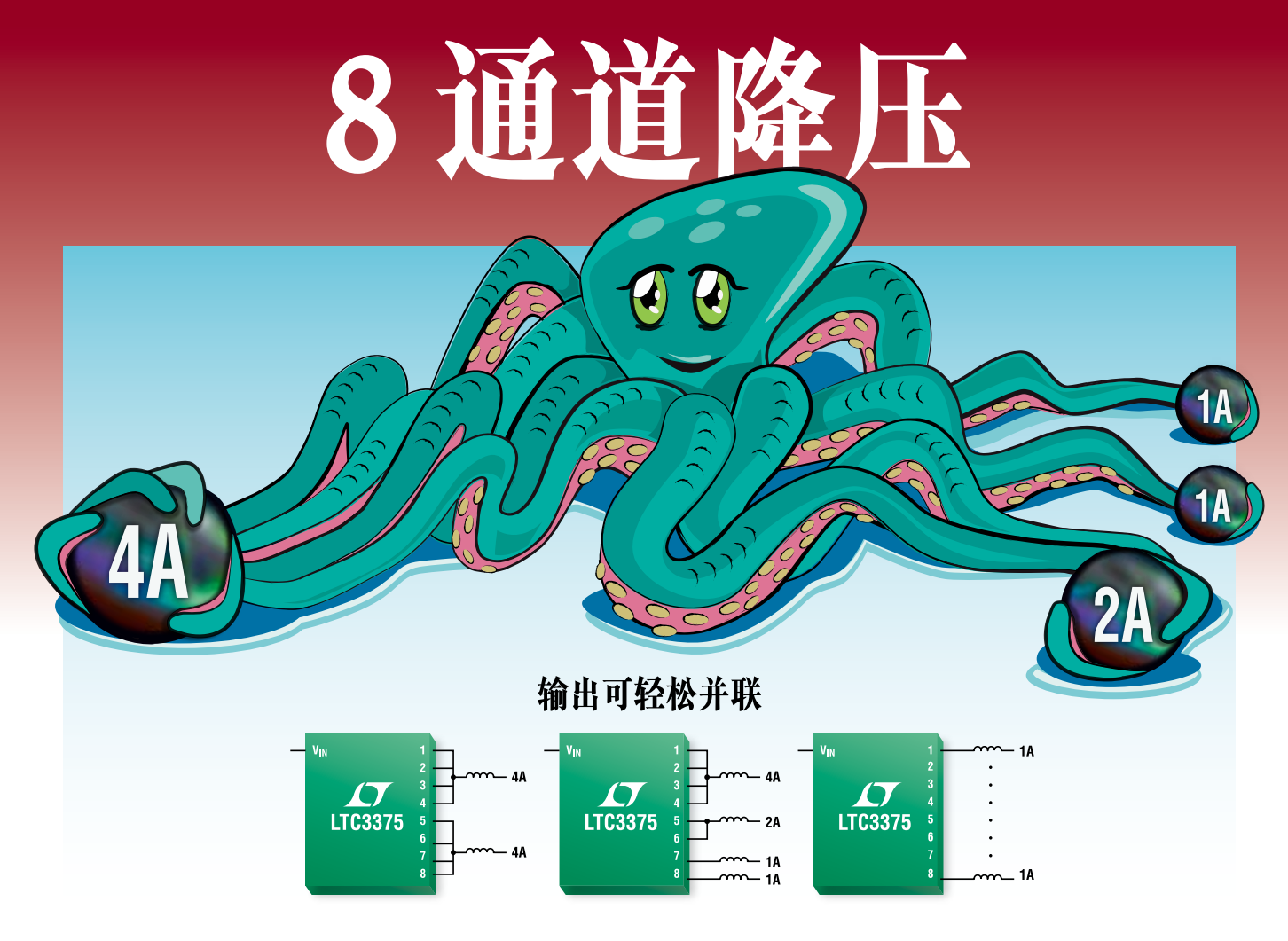


功率系统设计: 推动全球创新



特别报道:照明应用(PG33)



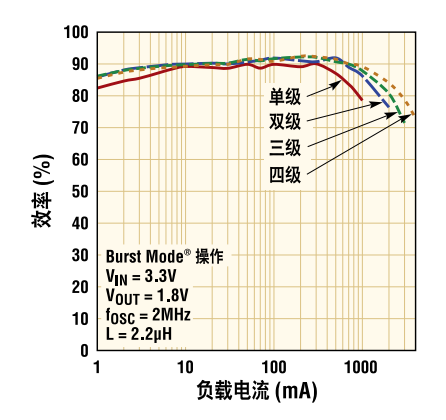


LTC®3375 凭借其多个可配置 8 通道输出提供了全新的设计灵活性水平。利用单个电感器可将多达 4 个通道连接在一起以 提供高达 4A 的输出电流。其可产生 15 种独特的输出电压轨配置,从而能实现后期功率级调整。每个同步 DC/DC 转换器 均可独立供电和控制。一个片内芯片温度传感器负责提供实时热数据以实现安全运作。按钮控制、上电复位、看门狗定 时器和一个 I²C 串行端口提供了灵活的控制和高可靠性。

▼ 特点

- 8 个独立的同步降压
- 可利用单个电感器进行主-从配置 以使每个电压轨提供高达 4A 输出 电流
- 15 种功率级配置
- 用于每个转换器的独立 V_{IN} 电源
- 用于自主型排序(或 I²C 控制)的 精准使能引脚门限
- 片内芯片温度监视器
- QFN-48 封装 (7mm x 7mm x 0.75mm)

降压效率与负载的关系



▼ 查询详情

www.linear.com.cn/product/LTC3375

免费样品:www.linear.com.cn



www.linear.com.cn/product/LTC3375

J·LT·LTC·LTM·Linear Technology·Linear 标签和 Burst Mode 是凌力尔特公司的注册商标。所有其他商标均为各自拥

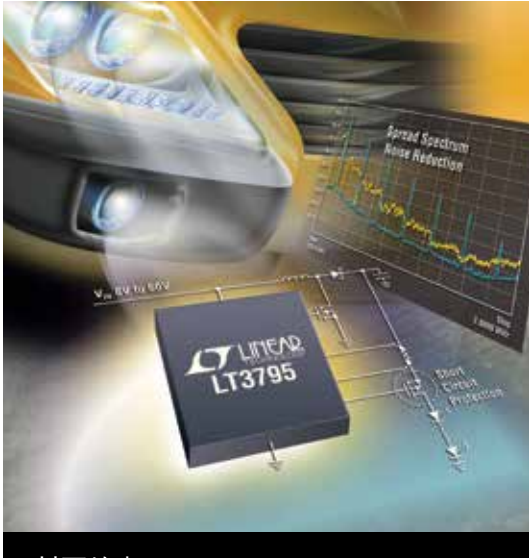
巻力亦特 Linear Technology www.linear.com.cn 香港电話 (852)2428-6303 深圳电話:(86)755-2350-4866 上海电话:(86)21-6375-9478 北京电话:(86)10-6801-1080 成都电话:(86)28-8555-9725 武汉 电话:(86)27-8655-9231 西安电话:(86)29-6851-978

文绪电子 Arrow Electronics www.arrow.com 香港电话:(852)2484-2484 深圳电话:(86)755-8836-7918 上海电话:(86)21-2215-2000 北京电话:(86)10-8528-2030

PSD CHINA 功率系统设计: 推动全球创新

WWW.POWERSYSTEMSDESIGNCHINA.COM

请访问我们的在线内容、产业新闻、产品、专访和过往杂志。



封面故事

新型 LED 车前灯和 DRL 需要高性能的 LED 驱动器

刊首语



赛米控将参展 PCIM Asia 2013 并推 出新的 MiniSKiiPâDual 模块

精英观点

绿色、节能、高效,解析电源管理 技术发展趋势 作者;张洁萍,ADI

市场观察

LED 照明市场的电源适配器机遇 作者: Jonanthon Eykyn,IMS Research

设计指南

反激式电源的开发(第二部分) 作者: Ray Ridley 博士, Ridley Engineering

技术访谈

强势微控制器地位打造大型触摸屏 作者:刘洪, PSDC 主编

低功耗技术专长助力新的市场增长 作者:刘洪, PSDC 主编

技术创新重塑测试品牌 作者:刘洪, PSDC 主编

让电池效能发挥得淋漓尽致 作者:刘洪, PSDC 主编

以更低功耗实现突破性能优势 作者:刘洪, PSDC 主编

封面故事

21 新型 LED 车前灯和 DRL 需要高 性能的 LED 驱动器

作者: Jeff Gruetter, 凌力尔特公司

技术特写

功率设计

更智能的网络工具加速功率级设计 作者: Steve Clemente, 国际整流器公司

电源

27 自动测试设备的配电网络设计 作者: Maurizio Salato, VICOR

传感器

30 汽车空气质量检测与改善方案

作者:沈顺伟,派睿格恩汽车科技有 限公司

特别报道:

照明应用

现代汽车照明及先进汽车照明解决方案 作者:安森美半导体

37 8位的价格,32位的性能 作者: Dirk Heinen、Arno Rabenstein, 英飞凌科技股份公司

40 耦合电感式升压转换器设计 作者: Gwanbon Koo, Youngsik Lee, 飞兆半导体公司



热点产品新闻、行业新闻及更多内容请访问网站: www.powersystemsdesignchina.com

绿色视点

44 为汽车电子测试插上自动化的翅膀 作者:刘洪, PSDC 主编





功率系统设计: 推动全球创新

AGS Media Group

中国广东省深圳市福田区八卦四路 13 号 西座 1-2 楼 邮编:518029

info@powersystemsdesignchina.com www.powersystemsdesignchina.com

主编——功率系统设计中文版

powersdc@126.com 电话:010-68797916 13651220041

出版人

.lim Graham

jim.graham@powersystemsdesign.com

合作出版人

Julia Stocks

julia.stocks@powersystemsdesign.com

管理和制作

紫亚文化传播有限公司 地址:中国广东省深圳市福田区八卦四路 13 号西座 1-2 楼 邮编:518029

电话: 0755-82240466

circulation@powersystemsdesignchina.

电话: 0755-82240466

广告价格、尺寸和文件要求可访问: www.powersystemsdesignchina.com

免费订阅申请可访问: www.powersystemsdesignchina.com

版权所有: 2013 年 5/6 月 ISSN: 1815-3453

AGS Media Group 和 Power Systems Design China (功率系统设计中文版) 对由于资料的差错或遗漏,不论这样的 差错是否源于疏忽、意外或省略,都不 对任何人承担任何责任。

请把新地址电邮到:

circulation@powersystemsdesignchina.

第九卷,第三期



关注PCIM **ASIA 2013**

CIM-Asia 2013暨电力电子、智能运动、可再生能源与能源管理国际展览会与 研讨会在上海开幕。作为一直专注于功率半导体器件、无源器件、电源管理 与IC、AC/DC 转换以及测试测量领域的展览会, PCIM Asia展览会已经成功举办11 届,被业界誉为"亚洲最大规模的电力电子核心部件(功率半导体、驱动器、叠 层母排、电容器等)以及相关制造业产品的最佳展示平台"。

电力电子技术近年来在中国飞速发展,并在相关科技领域中扮演着越来越重 要的角色,如新能源领域、通信行业、交通运输业和电力行业。随着技术的不断 完善与创新,电力电子在风能、太阳能、电动交通领域的应用中,其重要性越来 越凸显。因此PCIM 引入"3E 技术"为主题即:太阳能(E-Solar)、风能(E-Wind)、 电动交通(E-Mobility)。

PCIM Asia 展览会吸引了来自其应用行业的高水平技术专家、公司管理层的人 员、产品和系统设计、采购以及研发部门的专业观众前来观展。因其了解、采购 应用解决方案,从而帮助他们提升产品性能,我们把 PCIM Asia 展览会专业观众称 之为 "Smart" visitor。

产品供应商(参展商)与技术专家的相结合是PCIM的独特之处,这也就是为 什么 PCIM Asia 连续11年来成为众多参展商信息交流以及业务往来的首选平台。

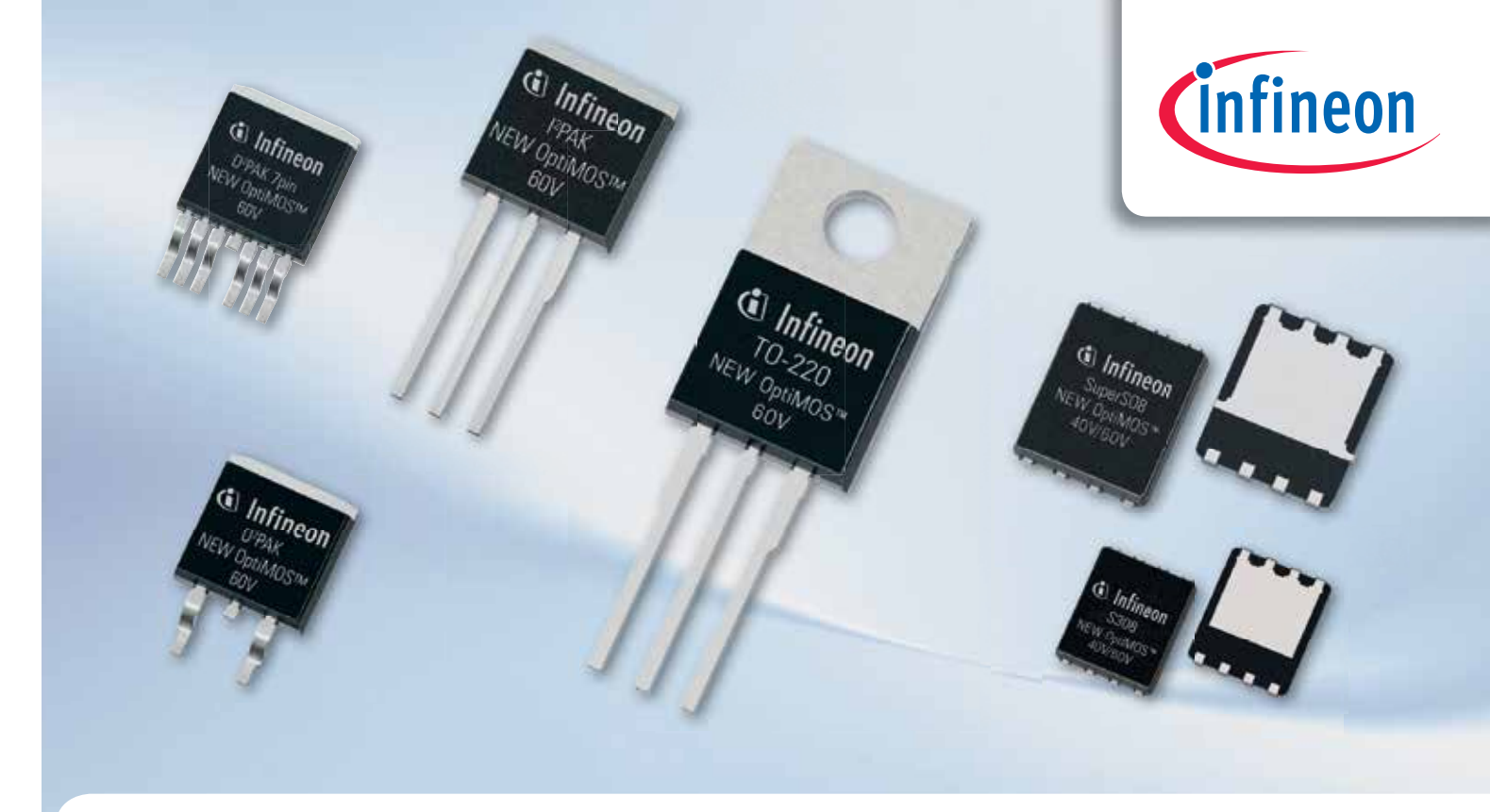
作为PCIM 研讨会的独特部分,今年设立的3个主题论坛由业内知名学者分别 从风力发电、光伏和功率器件领域出发不同见解,分别由Frede Blaabjerg教授、 Naoto Fujishima,博士和Yunfeng Liu博士发表演讲。专题会议有"电动汽车",以 及特别学生会议"电动交通与可再生能源"。

本次的PCIM研讨会设立2个专题论坛,着重关注新能源汽车、电动汽车与可 再生能源利用的相关技术;涉及混合动力/电动车辆;MOSFET和IGBT在电机牵 引应用中的使用寿命;车辆的直流/直流变换技术;双向直流/直流变换器;动力 及驱动系统和电源管理; 电源的储存和管理, 包括电池类型、超级电容 和飞轮 等议题。

本刊每年都报道PCIM-Asia,今年也不例外,下一期将发表对一些重点厂商的 采访文章,请读者静候。



刘洪 功率系统设计主编 powersdc@126.com



全新OptiMOS™ 40V和60V

实现服务器电源96%的效率水平



英飞凌全新OptiMOS™40V和60V系列是为服务器和台式电脑等的开关模式 电源(SMPS)的同步整流优化的。这些器件建立了功率密度和效率的 最高标准,同时了降低系统成本。

全新OptiMOS™40V/60V系列也是电机控制、太阳能微逆变器和电信DC/DC 转换器等广泛工业应用的理想选择。



全新OptiMOS™40V/60V器件的主要特性与优势

- 业界第一款采用SuperSO8封装的1m 40V和1.4m 60V产品
- 比同类器件降低35%的R_{DS(on)}和45%的FOM
- 最高的系统效率和功率密度
- 单片集成的肖特基二极管实现最高效率

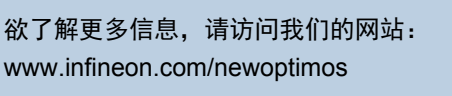














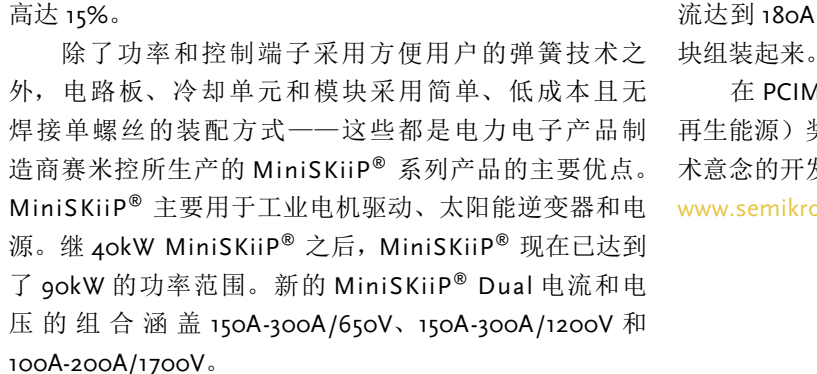
用于工业电机驱动、太阳能逆 变器和电源功率高达90kW的 MiniSKiiP® Dual模块

并在PCIM Asia的会议中赞助及颁发最佳论文(可再生能源)奖

★註於 米控参展2013年6月18-20日的PCIM亚洲电力电 结合快速、无焊接装配,这使得系统成本减少高达 15%。

少子展览会2013 (PCIM Asia) 并介 绍了一款最新的功率 模块——MiniSKiiP® Dual。它为以往以带 底板模块为主的40-90kW的功率范围带来 MiniSKiiP® 概念中的所 有设计优点和降低成本 的效益。

MiniSKiiP® Dual 全 面的产品组合应用范围 广泛,适用于工业电机 驱动、太阳能逆变器和 高达 gokW 的电源应用, 并可以将系统成本减少



MiniSKiiP® 弹簧技术首次出现在功率大于 40kW 的产 品中,所带来的好处有:与传统逆变器相比材料成本更低, 因为昂贵的连接负载的母排可由低成本的 PCB 板替代。



弹簧触点使得 PCB 板的 布局更简单更灵活,因 为PCB板不需要焊接引 脚的孔。

此外,弹簧使得 PCB 和模块之间的连接 比采用焊接更具柔性, 这会带来额外的好处, 特别是在热应力和机械 应力作用下。

MiniSKiiP® Dual 高 达 gokW 的 输 出 要 求 PCB 板具有更高的电流 承载能力,例如在 PCB 板上使用 210µm 的标准 金属涂层, 使得负载电

流达到 180ARMS,同时可以实现用一个螺丝将母排和模

在 PCIM Asia 的会议上, 赛米控还获颁最佳论文(可 再生能源)奖,此奖项由赛米控赞助,目的是鼓励创新技

www.semikron.com

构建一个更好的电源

Ridley博士 电源设计

第1卷:控制



引言摘录……

这是一本关于PWM转换器控制的书。其目的是指导读者在设计一个现代开关电源时消 除一系列选择的困惑。这本书突出了介绍了DC-DC转换器遇到的主控制问题。

这本书可以与在网站下载的免费分析软件一起使用。该软件包含了三个主要系列转 换器的所有方程,工作条件为CCM和DCM,使用电压模式或电流模式控制。

电源开发的严酷现实是,它们很少以预期的行为方式,或以模拟器的方式工作。因 此,必须尽快构建硬件,然后进行测试和测量,尽可能快地发现问题。这本书的目 的是帮助您获得通过关键信息更快发现其中的问题所在。

包含九个章节设计理念和解释的全彩色精装书包括以下内容:

- 九大技术
- 建模电源拓扑
- 电压模式补偿

- 输入滤波器互动

在我们的网站独家提供

WWW.RIDLEYENGINEERING.COM

Ridley Engineering, Inc. ~ 3547 53rd Avenue West, Suite 347 ~ Bradenton, FL 34210 ~ US ~ +1 941 538 6325 ~ 传真: +1 877 247 8595 SARL Ridley Engineering Europe ~ Chemin de la Poterne ~ Monpazier 24540 ~ FR ~ +33 (0)5 53 27 87 20 ~ 传真: +33 (0)5 67 69 97 28 邮箱: DRidley@ridleyengineering.com

绿色、节能、高效,解析电源管 理技术发展趋势



作者:张洁萍,ADI 电源管理部门市场工程师

去短短几年见证了电源管理技术发生的巨大变化。 中子产品的便携化、个性化浪潮改变了消费电子市 场的版图,并将智能电源管理问题推到了产品设计的最 前线。电源管理技术将如何发展? 会遇到哪些机遇及挑 战?业内厂商又该如何应对?

提升电源系统的电源转换效率?

电源管理技术供应商已不仅仅局限在电源技术本 身,同时更多地关注系统信号链的把握和系统的应用。 在器件设计角度来看,通过器件带有的特性提升整体工 作效率。比如,电源器件通过检测系统的工作状态,如动 态调节输出电压来达到效率优化的目的。从工艺角度来 看,功率器件工艺的改讲是提高效率的关键。

2. 未来电源管理系统如何应对市场需求的变化和严 苛的要求?

随着3G技术的迅猛发展,金融、电信网络的新一代 基站和数据中心的建设,也对电源管理系统提出了更高 的要求。与此同时,3G技术通信网络大规模普及,集中 度越来越高,数据量传输量越来越大,这就要求电源厂 商必须加大对创新技术的投入,提高产品的高效节能性 能,并通过推出高附加值的产品或解决方案来为用户节 约投资成本,同时保障运行的稳定性和高效性,才能充 分保障用户体验。

绿色、环保、节能一直是这几年电源管理系统技术 创新的重点。随着绿色技术在各行业的不断渗透,新的 行业标准也在推动产品升级。照明、电信、智能电网、 智能家电等领域同样具有巨大的增长空间, 也是电源厂

商重点关注的方向。节能主要体现在电源产品本身的节 能和整体机房节能,而"绿色"主要体现在提高整机效 率、减少对电网的干扰以及节省空间、节约成本等方 面。另外,模块化电源、网络化电源等也是目前的关注 焦点。模块化电源,除了能提高电源供应的可靠性,企 1. 面对日益严格的电源效率要求,半导体厂商关注 业自身还可根据用电负载选配模块。因此,厂商们如果 想要在激烈的市场竞争中保持甚至提高市场占有率,持 续的技术和产品创新是重中之重。

> 3. 面对智能化能源和电源管理趋势, 电源半导体产 品的主体发展趋势和市场需求

> 智能化电源领域、PMbus接口已逐步成为电源领域 通用的接口方式之一,同时电源产品与主控机之间的通 信及监控等功能的集成化也日益增多。高效、节能、环 保仍是不变的方向发展,产品小型化,高功率密度也是 设计新一代产品的关注点。

4. 除技术之外,要想在电源管理市场取得成功,还

电源管理技术供应商已不仅仅局限在电源技术本 身, 而是需要更好的将电源与系统知识进行结合, 针对 系统的应用开发出在性能,应用方面更好的产品。比如 针对有线的应用, 随着光纤传输速度的增加, 比如在 30G, 100G, 对噪声的带宽提出更高的要求, 需要LDO 对噪声抑制的带宽随之增加。在射频应用中,由于发射 和接收通道的增加,在电源功率、噪声方面提出新的需 求,因此需要电源公司了解应用,开发出更贴切应用的

www.analog.com

LED 照明市场的电源适配器机遇



市场观察

作者: Jonanthon Eykyn, IMS Research

₩ 用LED照明塑造了照明市场一个超过100年的最激进 1 的变化。LED产品的性质意味着对于功率半导体和 电源制造商是一个快速增长的机会,以往照明传统上是一 个小而成长缓慢的市场。

在2017年,用于LED照明的功率半导体和电源市场预 测会超过14亿美元。话虽这么说,市场瞬息万变,使供应 商难以得到一个立足之处,或找到合适的应用目标。

电源适配器市场正在快速接近曾经影响了市场的最 大变化。手机适配器市场, 历史上是最大的应用市场之 一,预计在2014年开始下降。虽然手机出货量预计将继续 增加,有线通用充电解决方案的采用消除了手机包装盒 中的充电器,从而以试图减少废物降低了整体市场。因 此,各大电源适配器制造商一直在寻找下一个"热点(big thing)",以帮助提高他们的销售额,而LED照明已经成 为了这个热点。

许多电源适配器和充电器的领先供应商已经在一定程 度上进入LED照明市场,但是这并不总是被证明像最初希 望的那样有利可图。

在量和收入方面,改造LED灯市场预计将是迄今为 止规模最大的LED照明应用。几个电源适配器制造商已经 瞄准了这个领域生产产品,通常是非常低功率的AC-DC电 源,通常安装在一个放入灯基座的圆盘形板上。然而, LED照明制造商一直倾向于分立式解决方案, 可完全绕过 电源适配器制造商。

虽然改造LED灯市场看起来是电源适配器的一个有限 的市场, 仍有其他的机会。预计电源适配器在未来五年 是增长最快的市场之一,主要是低功率LED照明应用,如 射灯、办公照明和其他内部照明。这些产品大部分一般在 50W和使用外接电源适配器。

2013至2017年, LED照明中使用的外部电源适配器的 需求单位出货量正在迅速增加,将增加8倍。在LED照明市 场,由于LED灯具制造商以及电源制造商试图压低成本, 试图抢占市场份额,价格的压力是非常大的。然而,五年 内, 电源适配器的收入仍预计将超过三倍, 达到超过4亿 美元,为供应商创造了一个赚钱的机会。

www.imsresearch.com



WWW.POWERSYSTEMSDESIGNCHINA.COM

WWW.POWERSYSTEMSDESIGNCHINA.COM

反激式电源开发第四部分

离线反激式转换器的设计和构建系列四



作者: Dr. Ray Ridley 博士, Ridley Engineering

这篇文章是Ridley博士展示离线反激式转换器的设计和构建所涉及步骤的第四系列。电路中添加了电源变压器,电流检测和缓冲电路的设计可以在满功率运行,元件上没有过大

的应力。

电源变压器测试

图 1 显示了插入电路中的变压器的反激式转换器示意图。在电路上施加满负荷之前,绿色的元件必须进行选择,并针对正确的操作来调整。

电流限制是 PWM 转换器可靠运行的关键。在低功率水平,当开关开启时,与从功率 FET 串联的检测电阻足以检测电流的流动。这个电阻的设计是这样的,峰值电压正好在输入到 PWM 比较器的最大允许电压的之下。对于384x 系列控制器,它被限制在 o.9 V,大多数 PWM 控制器也有类似的限制。对于离线设计,检测电阻两端的电压降并不代表显著的功率损耗。具有较高功率的转换器,建

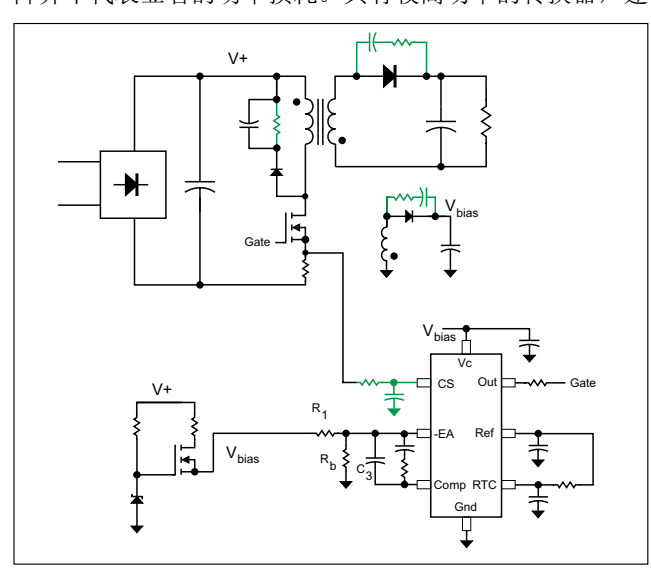


图 1: 反激式转换器的原理图。变压器插入后,必须进行选择和调整的元件显示为绿色

议使用一个电流互 感器。

图 2a 显示了在FET源极的原始未滤波波形。由于朱滤波形的寄生电阻和反向恢复,有一个大前沿尖峰,这必须用一个RC网络来滤波,所以它不会使 PWM 比较器断开。

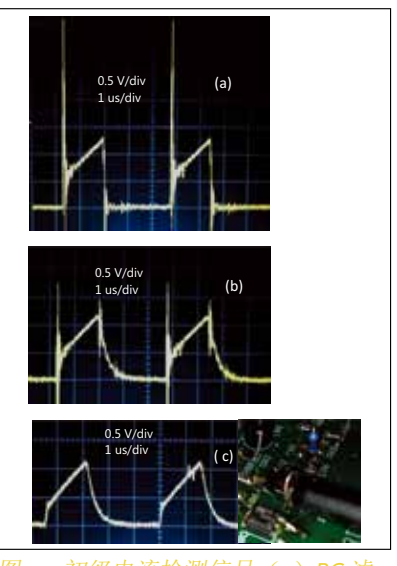


图 2:初级电流检测信号(a)RC滤波器后的FET源极(b)及(c)正确的探头放置

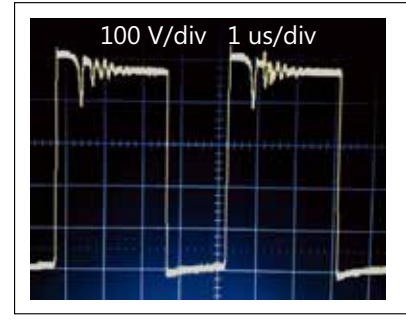


图 3: RCD 钳位电路的初级开关管源 极波形

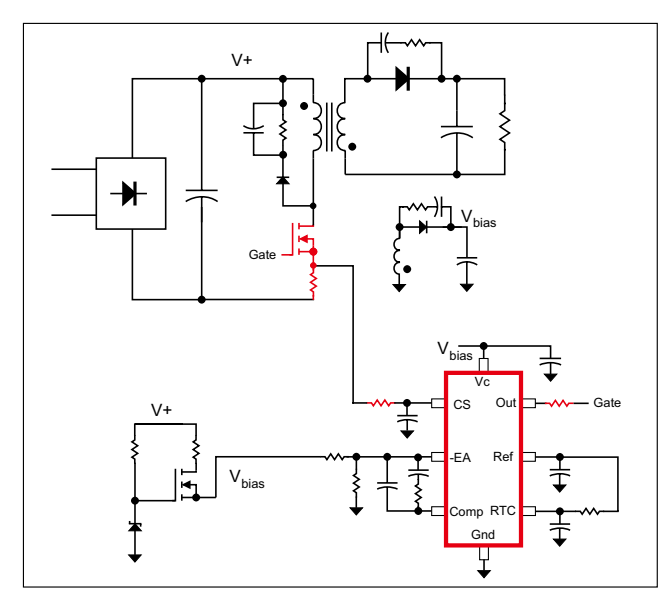


图 4: 在电压探头、短路变压器次级接触错误电路节点后的 红色元件故障

波, 电流检测信息丢失。

是应该没有误触发,而且

也没有转换器启动的电流

失控。这应该在设计过程

的早期测试(经过下面的

缓冲设计),以确保妥善

图3示出了主功率

FET 的初级开关漏极波形。

钳位电路的目的是使用一

个高速、快速恢复二极管

和 o.o1 µ F 电容。设计方

案 POWER 4-5-6 选中了电

阻,但随后由电路观察调

整电阻值。电阻值越低,

越难以钳位 FET 上的电

保护电路。

初级钳位设计

正确滤波的适当测试

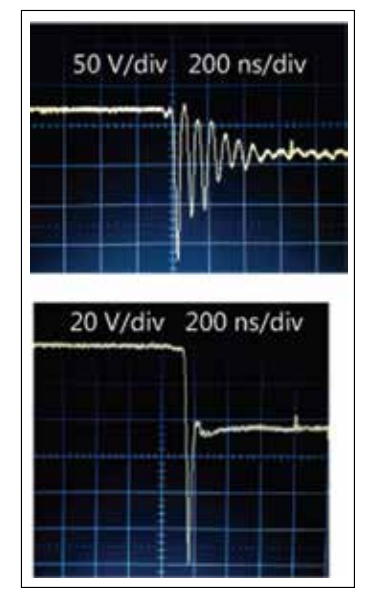


图 5: 在 RC 缓冲之前和之后的 次级二极管波形。如果在次级 侧使用一个 RCD 钳位可以减少 电压尖峰峰值。

压,但要以更高的功耗为代价。你可以在参考文献 [2] 中找到一个分析这个过程的文章。

次级缓冲设计

在初级钳位设计之后,要解决次级缓冲处理。在寻 找次级二极管电压的过程中,示波器探头的地不经意间 触到了错误的电路节点,产生了一个爆炸性故障。(通

表 1: 有不同负载的输出电压稳压数据

Main Output Voltage	Output Current		
15.03 V	0.43 A		
14.59 V	1.02 A		
14.26 V	1.55 A		
Regulated Bias Output 15.02 V	30 mA		
Main Regulation Band	5.2%		

常在写论文时,研究人员不提及故障。但是,对于那些 新的电源设计人员,这是准流程的一部分。你会犯错误, 而高压电源有时将导致灾难)。

在这种情况下(参见图 4),红色的电路原理图中所示的元件被摧毁,包括 FET、控制芯片、栅极电阻、电流检测电阻和电流滤波电阻。即使是经验丰富的电源设计人员电路也会出现故障 [3],而这往往是由现代电子器件的密度封装加剧的。

更换发生故障的电路元件,图 5 中所示的波形观察到了主输出二极管。由于二极管的硬反向恢复,有非常显著的振铃,而为阻止这一问题需要添加 RC 缓冲电路。根据本方法这样做可参见参考文献 [4]。

即使是在加入RC缓冲器之后,二极管上也有显著的过冲。这可以通过使用一个RCD钳位固定在初级。通常这是在一个反激式转换器的次级侧完成的,如果你想使用一个较低电压器件来提高效率,它是一个选项。当然,RCD钳位电路的功耗将影响效率。

通过选择一个更小励磁电感的电源变压器,并运行在 DCM 的转换器也可以消除反向尖峰。在这种情况下,作为一个消除尖峰的折衷方案,较高电流将流过开关。你的电源转换器的优化设计点将取决于许多因素,而尝试不同的变压器和实验值是一个有用的过程。

全功率运行和稳压

早在测试过程关闭转换器回路很方便,即使你可能不准备做完全的控制分析和大胆的设计。对于低功耗电路,在使用 4.7 μ F 的情况下,你可以在电路中从 EA 到 COMP 引脚加一个大电容 C3。图 1 中的电阻器 R1 的值选定为 100k,选择的 Rb 反馈电压设置为 15 V。

R1 和 C3 的组合形成了一个低增益积分器,这有助于该电路的缓慢调节。功率级和变压器上做的实验很方便,可早在设计过程中用来验证一个转换器的 DC 稳压。

(对于高功率转换器这不一定是一个推荐的程序。非常慢的回路可以带来启动和瞬态事件期间输出的大电压过

WWW.POWERSYSTEMSDESIGNCHINA.COM

冲,这可能会导致损坏转换器或负载。)

对于此反激式转换器设计,正向转换器可参考[5], 其目标是用偏置绕组来稳压,以这样一种方式设计的变压 器,跟踪辅助输出的主输出可尽可能紧密。利用良好的跟 踪,在电路设计中可以省去光耦器和反馈放大器(通常是 TL431), 节省器件成本和降低复杂性。正如你从表1看到的, 总电压范围为主输出的 4:1 负载范围的 5.2%。由于这里的 输出电压被设计用来馈入另一个开关稳压器,变化是可以 接受的。

稳压可以用更多加载的偏置输出来改善,但是这对轻 负载时的效率有很大的影响。在一些现代的绿色电源应用 中,额外的功耗是不能接受的。

总结

这个系列的第四部分描述了反激式转换器的满功率 运行。经验设计和计算的结合可用来设置缓冲器、钳位 和电流检测电路的正确值。对于离线转换器,至关重要 的是电流检测滤波器设计得当,以便它不会在启动过程

中出现电流失控。它也必须没有由于前沿尖峰的假断开

在本系列的下一部分,将介绍控制回路。可以看出, 交叉耦合稳压对转换器的增益有一些有趣的效果。

www.ridleyengineering.com

参考文献

- [1] Power 4-5-6 design software, http://www.ridleyengineering.com/software.html.
- [2] Flyback Converter Snubber Design Article [11], http:// www.ridleyengineering.com/design-center.html
- [3] LinkedIn Power Supply Design Center group. See discussion on "Power Supply Failures"
- [4] Snubber Design Article [A39], http://www.ridleyengineering.com/design-center.html
- [5] Power Supply Development Diary, Parts I XV11, http:// www.ridleyengineering.com/design-center.html

当然可以。



提高驱动

效率?

ABB悉心呵护环境,这就是为什么我们集中我们的努力为更高的太阳能逆变器效率提出了最 佳电流和电压传感器。所以ABB预计我们的客户需要开发的传感器带来的不同优势的技术解 决方案,从而始终牢记性能和成本之间的最佳折衷。你有一个专门的应用,我们有一个专 门的范围。www.abb.com

ABB法国 电流电压传感器部 电子邮件: sensors.sales@fr.abb.com



强势微控制器地位打造大型触摸屏 应用



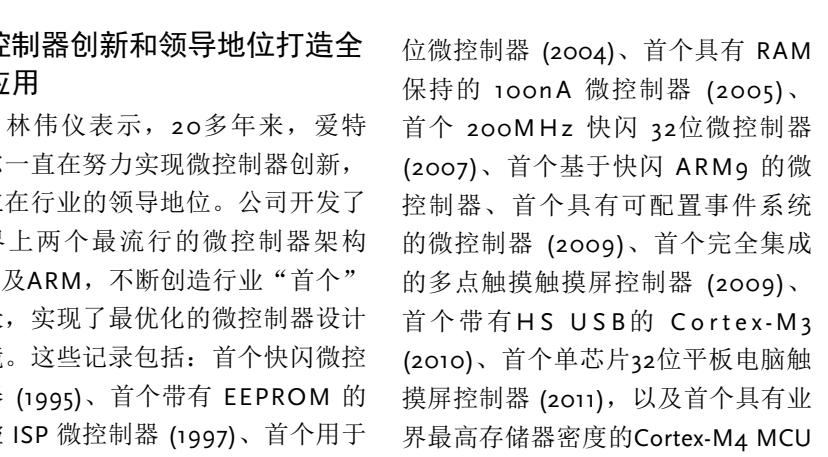
作者:刘洪, PSDC 主编

爱特梅尔高管解读微控制器创新和下一代超低功 率单芯片触摸控制器

加人控制器及触摸技术解决方案 们的领导厂商爱特梅尔公司(Atmel® Corporation)宣布推出支持最 大23英寸触摸屏的下一代产品系列 maXTouch® T Series,用于手机、平 板电脑、Ultrabook、笔记本电脑和 一体式电脑等应用。爱特梅尔亚太 区和日本销售副总裁林伟仪和高级 产品营销经理 Shar Narasimhan分别 介绍了公司在微控制器市场的领导 地位,以及下一代 maXTouch T系列 带来高性能自适应架构和直观的用 户界面解决方案。

微控制器创新和领导地位打造全 新应用

梅尔一直在努力实现微控制器创新, 建立在行业的领导地位。公司开发了 世界上两个最流行的微控制器架构 AVR及ARM,不断创造行业"首个" 记录,实现了最优化的微控制器设计 环境。这些记录包括: 首个快闪微控 制器 (1995)、首个带有 EEPROM 的 微控 ISP 微控制器 (1997)、首个用于 高阶语言制器 (1997)、首个 8位 RISC (2012)。 微控制器 (1997)、首个快闪 ARM7 32



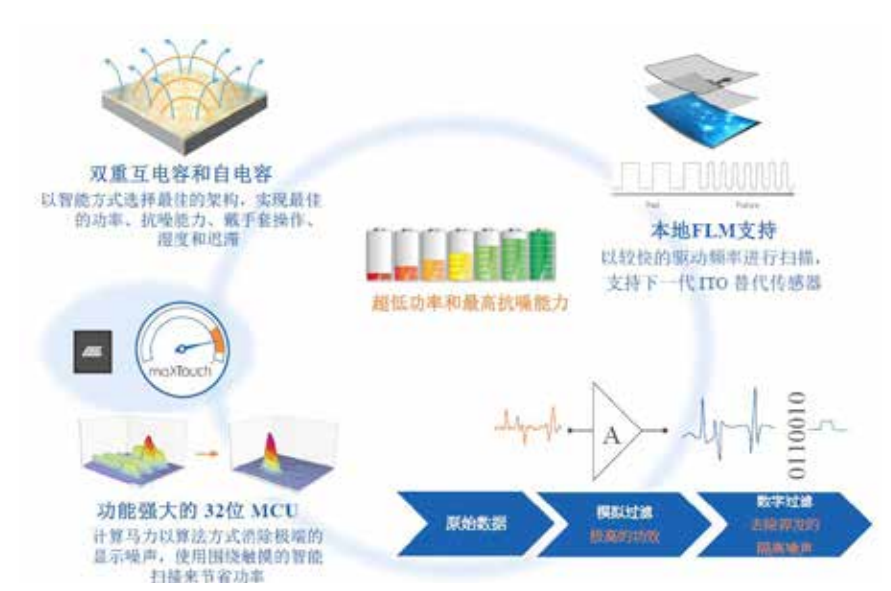
能电网收益将会增长到 730亿美元, 年复合增长率超过 10%。虽然在关注 智能计量方面,中国比其它国家晚, 但中国正在快速成为全球最大的智能 计量市场。为此, 爱特梅尔近期并购 了 Integrated Device Technology的智 能计量IC产品线和技术,进入中国智 能计量市场。而面对2015年总体无线 外设市场预期达到 10亿个, 其中 Wi-Fi Direct 成为增长最快速的领域,到 2015年 CAGR 超过100%的预测, 爱特 梅尔近期还并购了 Ozmo Devices, 欲在超低功率 Wi-Fi 市场建立强大的 地位。

他说,展望未来,爱特梅尔非常 看好尔物联网应用。未来公司将进一 步扩大亚洲的运营,并投资在当地的 研发、销售、客户支持; 专注于解决 方案,针对高增长领域和深化市场渗 透率;加强与当地的媒体和设计合作 伙伴的合作,为客户定制支持;保持 持续的资金投资于技术,客户支持和 战略并购。

革新性架构优化触摸屏性能

Shar Narasimhan介绍了业 林伟仪称,到2020年,年度智 界最佳功耗和信噪比 (SNR)的全





新的T系列。该系列中的首款器件 mXT2952T是世界上首个超低功率 单芯片器件,支持最大15.6英寸的 Windows® 8认证过的触摸屏,并且 的触摸屏。

全新T系列提供了具有互电容和 自电容的革新性自适应感测架构, 以优化其性能。maXTouch T系列自 动控制选择最佳的感测架构, 实现 无缝开关, 以达到更高的性能和更 点触摸跟踪,同时自电容提供了包 括闲置功耗、抗潮湿能力、戴手套 跟踪, 以及检测未与触摸屏接触的

手指或物体的悬停功能。新的maX-Touch T系列采用业界首个电容式触 摸双重模拟和数字滤波架构, 提高 了抗噪声能力,以提供最佳的信噪 优化支持覆层玻璃厚度薄至o.4mm 比(SNR)和功耗。maXTouch T系列 的新功能提供了更好的响应性能和 更直观的用户界面, 具有允许用户 预选择图标、字母、链接和其它图 像而无需物理接触屏幕的悬停等附 加功能。

随着触摸屏有源手写笔日益流 低的功耗。互电容实现了真正的多 行, maXTouch T系列也支持爱特梅 尔maXStylus™,这是一款无需附加 传感器层来实现更薄堆栈和更低材 料清单(BOM)成本的解决方案。与 现今市场上的其它电容式有源手写 笔相比, 获奖的maXStylus提供了具 有更好的触摸性能、更低的功耗和 更低的总体系统成本的Window 8兼 容解决方案。

Shar Narasimhan表示,对于移动 设备, 无瑕疵的触摸性能、更长的电 池寿命和更薄的触摸屏是今天触摸屏 设计的主要特性, 作为触摸技术的领 先产品, maXTouch T系列是Windows 8兼容和英特尔Ultrabook使用就绪 的,并且同时支持有源手写笔和传感 器中枢。爱特梅尔是这个领域的领军 企业,非常兴奋提供世界首个用于最 大15.6英寸Windows 8认证过的触摸屏 的单芯片控制器mXT2952T。

为了更完美地支持Ultrabook和笔 记本电脑触摸传感器,mXT2952T具 有特定的电路以利用铟锡氧化物(indium tin oxide, ITO)替代传感器材料, 比如爱特梅尔的XSense柔性触摸传感 器,这可让系统设计人员构建更具创 新的设计, 具有更快运作速度、更低 功率的无边弧形触摸屏, 甚至柔性触

maXTouch T系列集成了爱特梅 尔的专有maXFusion传感器中枢管 理技术,可让设计人员在单芯片上 同时管理触摸界面和所有的传感器 智能,这项技术可以实现较低的材 料清单成本和更高的性能。

低功耗技术专长助力新的市场增长



DIALOG半导体亚太区总经理Christophe Chene解 读公司电源管理技术优势

ialog 半导体有限公司(Dialog ✓ Semiconductor)作为混合信 号、低功耗半导体领域的创新者,一 直致力于针对个人便携式应用、低功 耗短程无线应用以及照明、显示和汽 车应用等领域,制造与优化高度集成 的混合信号集成电路(IC)。凭借其 在高能效系统电源管理领域积累的丰 富经验和知识, 以及包括音频、短距 离无线和VoIP技术在内的技术积累, 该公司能够在其几十年的经验基础上 迅速开发出面向各类个人便携式应用 的IC,包括智能手机、平板电脑、数 字无线和游戏设备。最近,该公司亚 太区总经理Christophe Chene亲临北 京,宣布公司推出全球功率最低、 体积最小的SmartBond (DA14580) 蓝牙智能系统级芯片(SoC),同时 介绍了利用 Flatfrog 的 PSD技术为大 中型大众市场显示屏提供响应迅速 的低成本多点触控功能,推出Smart-Wave[™] (DA8901) 多点触控集成电 路 (MTIC™),进军触屏感应器市场 的情况。

集成度最高的电源管理技术

Christophe Chene 表示, Dialog 的价值主张是专注于开发各种节电技 术,利用业内集成度最高的电源管理 技术满足各种应用的关键需求,提升



产品的多样性。传统方式有很多独立 的组件,而 Dialog 的方式采用单一芯 片系统,有助于提高效率。其全面的 系统方法可提供软件配置型电源管理 解决方案, 为大宗客户提供定制解决 方案: 高级封装采用领先的模拟 o.13u BCD 工艺。

他认为,几天已经进入一个触控 时代,到 2017年,平板电脑与笔记 本电脑的全球销量比将达到 6:1; 预 计 2013 年增长 67%, 达到 2.565 亿件, 2017 年达到 5.794 亿件。触控笔记本 电脑市场预计 2014 年增长 48%, 并于 2015年达到1亿件,其动力来自:包 含触控功能的英特尔第三代超极本、

超薄笔记本电脑市场。触控和平板电 脑市场的最大推动力来自白牌制造商 (尤其是中国的此类制造商),占 2012 年平板电脑出货量的三分之一。

Dialog 在中国平板电脑和超极本 市场成绩斐然。在平板电脑市场, Dialog 的 DA6021 PMIC 在英特尔的"Bay Trail" 平板电脑参考设计中被用作系 统电源管理设备;超极本市场,今年 3月, Dialog 推出了 DA8901 Smart-Wave 多点触控 IC MTIC, 它采用创新 型红外技术,将 11 英寸以上的显示 屏的成本消减了一半。Dialog 的产品 对于那些显示屏模块制造商和白牌厂 商具有吸引力,可让他们满足客户对 价格的要求。

新一代蓝牙®智能 SoC

DIALOG 半导体刚刚推出了全球 功率最低、体积最小的 SmartBond (DA1458o) 蓝牙智能系统级芯片 (SoC)。与竞争对手的解决方案相比:



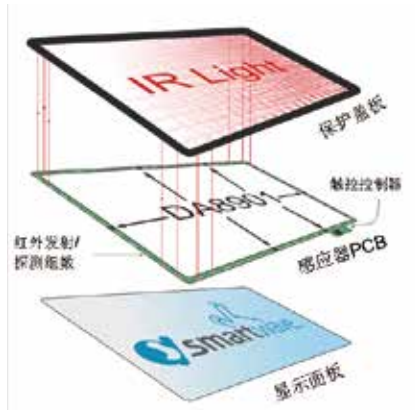
WWW.POWERSYSTEMSDESIGNCHINA.COM WWW.POWERSYSTEMSDESIGNCHINA.COM 技术访谈

该产品可将搭载应用的智能手机配 件,或电脑外设的电池巡航时间延长 一倍。该款芯片的设计目的是通过无 线方式将键盘、鼠标或遥控器与平板 电脑、笔记本电脑或智能电视机相连 接;让消费者能够通过智能手机和平 板电脑上的各种创新应用, 与手表、 护腕或智能标签建立连接, 实现健康 和身体状况的"自我监测", 寻找丢 失的钥匙等各种功能。

Christophe Chene 称, Smart-Bond 是首款突破 4mA 无线收发电流 极限的蓝牙智能解决方案, 能够让 设计人员将产品的电池续航时间延 长一倍,或缩减所需电池的数量和 大小。其独特的低功率架构的无线 收发电流仅消耗 3.8 mA, 比市场上 其它蓝牙智能解决方案低50%,而 且其深度睡眠模式的电流低于 600 nA。这意味着,在一个每秒发送 20 字节的产品中,一颗 225mAh 纽扣电 池可以让其持续运行4年零5个月; 与此相比, 前几代蓝牙智能技术仅 能维持2年时间。

DA14580 拥有一个功率管理块, 内含一个 DC-DC 转换器以及所有必 要的 LDO,从而降低了对外部组件和 总的物料清单的需求。通过精准地打 开和关闭每个芯片块的供电,Dialog 能够将功耗降至最低。由 SmartBond 的运行电压降低至此前不可能做到 的 o.9V, 从而实现使用一块碱性电池 或镍锰电池就能运行电脑或智能电视 外设, 而此前则需要两块。这为设计 人员敞开了通向无数新设计思路的大 门, 让他们能够开发出超紧凑和新尺 寸的产品,同时降低系统的总成本。 能源采集技术,如采集到的光能或动 能, 也可以用于对支持系统运行的可 充电电池进行充电。此外, DA14580 还拥有尺寸方面的优势。它提供三种 尺寸, 其中最小的晶圆级芯片尺寸 包装 (WL-CSP) 仅为 2.5 X 2.5 X 0.5





员在最受空间限制的无线配件中使用 蓝牙技术。

他说:"依托 SmartBond 的推出, Dialog 持续地推动其产品种类的多元 化。Dialog 利用其在智能手机、平板 电脑、家庭无线感应器网络市场低功 率管理的专业知识, 开发出这款蓝牙 智能系统级芯片,并在功耗和芯片尺 寸方面打破了以往的记录。目前,我 们正在与一些配件与外设领域的一线 客户开展合作。"

PSD 触控技术大幅降低成本

Christophe Chene 介绍说,MTIC 是全球首款用于实现 FlatFrog 广被认 可的 PSD (平面散射探测) 触控技术 的芯片, 用于各类量产消费电子设备 中。借助防护玻璃内的红外线, Flatfrog 的 PSD 触控系统能够探测和跟踪 来自戴手套的手、触控笔和其它物体 的多个触摸操作、手势和按压动作, 从而为用户提供一种更加自然的真实 触控体验, 其性能超过最新的电容触 控解决方案, 而成本却远低于后者。

MTIC 适用于当今的笔记本电脑、 一体机、超级本和监视器, 专为 11 至 36 英寸的显示屏而优化。此外,它还 满足微软 Windows 8 和英特尔超级本 的触控要求。MTIC 最多支持 40 个并 发触控操作,它利用 FlatFrog 经验证 的 PSD 触控专利技术来探测注入到显 示屏防护玻璃中的红外线的变化。当 用户触摸玻璃表面时, 散射光线将被 多个红外接收器检测到。MTIC 接收 所产生的信号,对它们进行放大和预 过滤处理, 然后将它们转换为数字域。 然后,系统使用 MTIC 的基于 ARM® Cortex[™] Mo 处理器的内置探测引擎, 对这些数据进行高级信号处理,处理 结果被用作向设备主处理器提供触控 坐标的依据。

一个 MTIC 可直接驱动 12 对红外 mm。这样的超小尺寸可以让设计人 LED/发射器。一台典型的超级本、平 板电脑或一体机可以配备多个采用主 从配置的 MTIC, 用以灵活匹配不同 尺寸(最大 36 英寸)的屏幕。PSD 触控技术支持任何类型的显示屏, 也 支持防护玻璃或防护塑料。与当今智 能手机和平板电脑广泛使用的投射 电容式 (procap) 触控技术不同,该 系统可提供无边框工业设计(edge-toedge industrial design) 和 100%的透 光率,因为没有昂贵的 ITO 层阻挡来 自显示屏的光线直达人眼。

> 他表示: "DA8901 MTIC 必将成 为一个真正的游戏规则颠覆者, 可为 各类主流超级本以及众多新一代触控 显示产品提供不折不扣的多点触控功 能。与其它触控技术不同, 竞争技术 的系统成本随屏幕尺寸线性上升。这 就意味着,即使价格最低的主流一体 机和监视器也能享受到 A8901 MTIC 带来的卓越多点触控体验。"他补充 道:"我们很高兴与 Flatfrog 携手合作, 并期望这种合作能够延续下去。"

技术创新重塑测试品牌



技术访谈

作者:刘洪, PSDC 主编

访污华董事长左毅先生

○013年,已是泛华(泛华测控及泛华恒兴的合称)转 ─型的第二年,在这一过程中,泛华在塑造测控品牌的 道路上又向前迈进了一大步。回顾泛华16年历程可以看 出,其一直在坚持走技术创新的路线,一如既往地从产

品质量和技术层面打造核心竞争力。记者 在与泛华董事长左毅的交流中, 感受到了 公司华丽转身过程中的蜕变。

"柔性测试"技术带来蜕变

成立于1997年的泛华测控一直在为 各行业用户提供测试测量解决方案和成套 检测设备。不过, 当初公司是从代理NI (National Instruments) 的产品起步的。 左毅表示, 泛华测控从成立之初就决心要 做一家有核心技术的公司, 其中创新尤为

关键。研发的技术必须瞄准市场,科研院所那种将技术 束之高阁的老路已无法适应市场需求。

2007年,泛华提出了"柔性测试"技术理念,这也 是公司创始人、泛华测控、泛华恒兴董事长左毅对企业 拥有核心技术的最早期冀。"柔性测试"技术是以虚拟 仪器技术为核心,集测试测量技术、机电一体化技术、 软件技术、通信及网络技术等于一身, 专注于研究测试 测量系统整体功能及性能的专业测控技术。它是对测试 测量系统的精确性、可靠性、灵活性、适用性和扩展性 的不断追求, 为用户提供充分满足其需求的、可信赖的 系统。它既面向应用,又专注于测试行业的发展,旨在 推动现代测试技术在实际应用中的快速发展。

其后, 泛华测控作为一家提供专业测试测量解决 方案和成套检测设备的优秀厂商,一直立足于"柔性测 试"技术的提升,在不断优化自身产品和能力的同时, 为用户提供专业的测控产品开发、销售、集成、校准和

培训服务,其成绩有目共睹。

但是,测试测量行业涉及的范围很广,也是一个 准入门槛很高的行业。国内对测试测量行业一直重视不 够,在某种程度上导致国内企业因核心技术的缺失而举

> 步维艰, 甚至难以生存。为了打破这一 格局,2010年9月泛华成立了泛华恒兴, 大力发展自研产品,并已成为北京中关 村地区企业联合会会员及航空航天产业 联盟单位。

时至今日, 泛华的坚持和专注终于换 来了巨大的收获。公司从较为纯粹的代理 商正在变身为解决方案供应商, 成为拥有 多项专利技术和知识产权的技术企业。从 成立泛华测控再到建立泛华恒兴泛华的华 丽蜕变在让业内震惊的同时, 也成为了优

秀民族企业的代表。

左毅告诉记者,今年以来,公司在经营方面发生了 很大的变化,自有产品营业额已上升到接近50%,调整 公司的经营策略已经初见成效。在一定程度上放弃纯代 理模式,是为了实现主动转型,打造一家有技术、有理 想、有能力的公司。

三大主营实现完美测试测量

纵观测试测量行业的发展,拥有自主研发产品和技 术无疑是各家厂商竞争优势, 也是满足客户需求的坚实 保障。测试测量是保障和提升制造业水平的基础,"制 造业回归"为泛华这样的公司提供了一展拳脚的市场空 间。从泛华的发展不难发现,在公司转型过程中,独立 自主的创新研发是其未来一段时期内的主题。用左毅的 话说,就是"深耕行业,专注技术"。左毅坚信"术业 有专攻"的道理。出于技术的专注和自身研发能力的清

WWW.POWERSYSTEMSDESIGNCHINA.COM WWW.POWERSYSTEMSDESIGNCHINA.COM

技术访谈

华总是能够有针对性地满足客户的特殊需求。

导的各层级产品,这是一种经营方法的创新。它是建立 业文化才是生存和发展之道。 在对行业需求深入了解的基础之上。2013年,泛华的三 大主营——提供典型测试系统解决方案、研发三层货架 产品、基础技术研究, 意在突破长期以来国外核心部件 的技术壁垒,通过提升产品品质实现国外产品的替代, 而不是以牺牲品质、外观和性能,以低价格换取市场的

所谓典型测试系统解决方案针对的是按行业划分 的测试对象,泛华的业务主要集中在为科研研究型(航 空航天、国防军工、船舶重工)和生产制造型(汽车电 子、消费电子、工程机械、能源电力、通信)行业提供 典型测试系统解决方案。根据被测对象的等级划分,目 前泛华提供器件、板级分系统、系统3个阶段的系统解决 测试测量任务。 方案。其中器件类典型产品包括: 传感器单元测试、芯 片测试、元器件老化功能测试等: 板极分系统类典型产 品包括: 电源测试系统、通用测试平台、通用电路板测 试等: 系统类典型产品包括: 航空发动机试车台、潜艇 动态数据采集系统等。

前提下,提供的多层次货架产品与服务,主要包括平 台、模块和软件三个方面。平台包括: 军用宽温级各类 机箱、加固机箱等。模块包括:现有接口控制、记录存 储、数字信号处理、通信互联、数据采集、模拟调理、 基准参考、主控平台等八类自主研发模块。泛华的模块 拥有自己的SMT产线、计量室、高低温老化试验箱、外部 认证,部分模块已获得CE认证。软件是面向测试测量系 统中数据采集分析、生产测试、数据管理和流程管理等 关键环节设计的系统级平台化解决方案X-Designer。它的 问世,填补了国内在测试测量领域没有自主知识产权软 件开发平台的空白。

在基础技术的研究方面,泛华致力于机电一体化技 术、数字信号处理技术、工程技术、测试环境仿真技术 和模块化技术。与此同时, 泛华还建立了完善的质量管 理体系、项目管理体系和产品数据管理(PDM)体系, 为产品提供从前期研发到售后服务的全方位支持,从而 确保技术和管理双重无忧的品质。

打造核心竞争力, 塑造测试品牌

如今,泛华创建了自主品牌,服务行业涉足国防军

晰认识,在技术上泛华一直在做"减法",为的是使泛 工、航空航天、汽车电子、工程教育等领域,显示了巨 大的发展潜力。不过,泛华仍是一家视技术为生命的企 谈到泛华与其他同类厂商的不同,左毅介绍说,泛业,销售额的增长不是泛华追求的唯一目标。对泛华而 华作的不完全是集成,而且将目光紧锁以解决方案为主 言,与客户之间的信任、拥有核心技术、正向积极的企

> 左毅坦承,从代理转向自主产品,资金周转问题在 所难免。为此, 泛华也在积极探索引进战略投资合作伙 伴以及员工持股计划, 使公司股权关系更加合理, 推动 公司的管理规范化, 使公司更为健康地发展。

左毅最后表示,"十二五"期间,测试测量技术 将会实现不可逆转的发展。为了顺应这一趋势,泛 华做好了充分的准备,除了在技术上多样化、精密化 的发展外, 泛华也将进一步加大人才培养的力度。未 来,泛华将凭借对于技术的专注和执着,不断推出新 产品,一如既往地从产品质量和技术层面打造核心竞 争力,帮助不同行业的用户完成更精准、更高要求的

合作前景可期

据介绍,基于Spansion的32nm MirrorBit电荷捕获 技术,由XMC生产的并行和串行NOR产品将在2015年正 式面世。近期,Spansion还推出了业界首个采用45nm技 研发三层货架产品是泛华在深刻理解应用背景的 术的8Gb NOR闪存,在嵌入式应用的并行和串行闪存产 品领域持续领先业界目保持最高的密度和性能。展望整 个2013年及未来,Spansion将推出更多45nm NOR闪存

> 很显然,Spansion和XMC对彼此的合作关系充满 了信任与信心。本次在32nm工艺上的合作将双方的合 作关系带向了一个新的高度,双方将携手解决困难,在 全球获得更大的成功:而且,在XMC逐渐发展壮大成 为业界具备重要影响力的厂商过程中也是一个重要的里

让电池效能发挥得淋漓尽致



德州仪器 (TI) 电池电源管理专家解读快速充电 技术

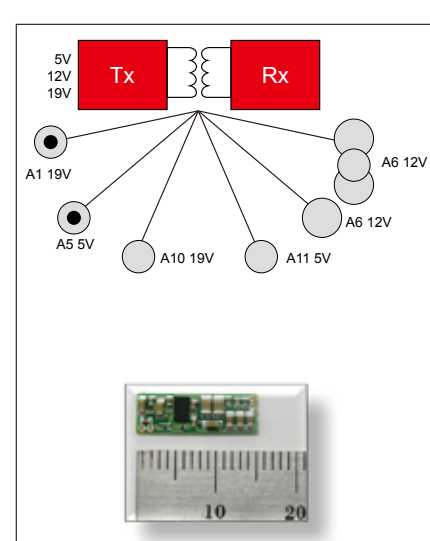


仪器 (TI) 宣布推出采用 TI 最新专利 Max-Life™ 快速充电 技术的两款电源 管理芯片组,可

帮助消费者提高单体锂离子电池的 充电速度,延长电池使用寿命。该 bq27530 与 bq27531 电量监测计电路 和 TI bq2416x 与 bq2419x 充电器相 结合,可优化电池性能: 既支持最高 可能的充电倍率, 又可实现最低的电 池损耗。德州仪器电池管理方案市场 拓展经理文司华和电池电源管理方案 市场开发经理俞明介绍了新技术的详 技术、认证参考设计和总体系统解决 细情况。

电池管理发展趋势

趋势:人们需要更快、发热量更少的



方案;在该市场 TI 解决方案有超过 15 的 bq27530/bq24272。 款符合 Qi 标准的发送器、20 款以上 符合 Qi 标准的接收器,以及 80%以 池产生影响,缩短电池使用寿命;高 文司华首先介绍了电池管理发展 上符合 Oi 标准的器件。

文司华表示,关于未来新技术, 充电; 更精确的电池容量测量; 更新、 在不久的将来将出现 5-15 瓦特、1 对 更高容量的电池;更小外形的电池, 多配对、单线圈或多线圈自由度和双 以及无线电源。TI 与无线电源有着不 向通信的技术。他还说,单纯追求快 解之缘,率先发布了符合 Qi 标准的 速充电通常会带来一些闲惑,如:手 的充电情况。 系统,包括WPC1.o与WPC1.1;TI是 机用户会因其电池在充放电数月后似 WPC 的创建成员、PMA 与 A4WP 成员; 乎无法继续使用而倍感困扰;若控制 统软件控制电池管理系统无论采用微 TI 广泛的创新产品组合有 5 个发送器 不当, 更高的充电倍率会使钾离子电 控制器、电源管理集成电路 (PMIC), 还 及5个接收器版本;综合而全面的设 池老化,缩短电池使用寿命;传统软 是采用数字信号处理器实施,在准确

或 DSP) 在准确预测电池容量方面存 在局限性。

快速充电技术

命明介绍了 TI的 MaxLife ™ 快速充电技术, 它可帮助客户加 速充电, 体验延 长达30%的电池



使用寿命;准确预测,避免可能老化 电池的充电情况:监测计/充电器芯 片组不但可提供高度的设计灵活性, 而且还可提高电池安全性; 支持 4.5A 充电的 bq27531/bq2419x、支持 2.5A 充 电的 bq27530/bq2416x、支持 1.5A 充电

他表示, 更高充电倍率可对电 倍率下的标准充电可加速老化。TI 的 MaxLife 技术采用创新老化建模系 统,算法建立在 TI 普及型 Impedance Track[™] 电池容量测量技术基础之上, 可准确预测并避免可能导致电池老化

自动电池管理是其一大特色, 传 计支持,如无以伦比的系统设计专业 件控制电池管理系统(MCU、PMIC 预测电池容量并将该信息换算成运行

时间方面都有很大的局限性。 最新 2.5A 充电倍率 bq27530 与 bq24160 芯片组以及 4.5A 充电 倍率 bq27531 与 bq24192 芯片 组可通过直接为充电器提供监 测控制,为设计人员提供更高 的灵活性。该自动电池管理系 统不但可降低软件开销、提高 电池安全性与散热管理, 同时 还可帮助设计人员调整充电算 法,从而支持不同的平台与更 新型的更高容量电池。

TI还推出了最新锂离子快 速充电开发套件, 支持可通过

压输入工作范围为 4.2V 至 10V。

Get more life out of a Li-lon battery TEXAS INSTRUMENTS

I2C 接口直接与 bq24192 充电器通信 优势包括:在高达 4.5A 电流下能快 bq24160 双路输入 2.5A 充电器则采 的 bq27531 电量监测计。评估套件电 速为单体锂离子电池充电;延长电 池使用寿命, 可最大限度降低每次 归纳起来, MaxLife 技术的主要 放电周期后的运行时间衰减;通过

增强散热管理与降低热生成 实现高效充电;高性能 Impedance Track™ 监控系统可 提供最准确的电量估算以及 对充电电流与结束阈值的精 确控制。

据介绍, 支持充电器控 制的 bq27530 与 bq27531 电 池电量监测计现已开始供货, 采用 2 毫米 × 1 毫米 × 0.65 毫米 15 引脚晶圆芯片级封 装 (WCSP)。bq24192 4.5A 电 池充电器采用 24 引脚、4 毫 米×4毫米QFN封装,而

用 24 引脚 QFN 封装与 2.8 毫米 × 2.8 毫米、49 焊球 WCSP 封装。

全_新_设计



North America: Europe: China

功率系统设计:推动全球创新

www.powersystemsdesignchina.com

以更低功耗实现突破性能优势



技术访谈

Altera公司产品营销资深总监Patrick Dorsey解读 第10代FPGA和SoC



上进行了优化,以最低功耗实现了业 指标框架之下,获得系统更大的容量, 界最好的性能和水平最高的系统集成 提供更大的带宽。因此, Stratix 10 是 度。首先发布的10代系列包括Arria® 一个非常好的产品。 10以及Stratix[®] 10 FPGA和SoC, 具有嵌 入式处理器。10代器件采用了业界最 最先进的高性能应用,包括网络、通 先进的工艺技术,包括,Intel的14-nm 信、广播以及计算机和存储市场等应 Tri-Gate工艺和TSMC的20nm工艺。早 用领域,同时降低了系统功耗。Stratix 期试用客户目前正在使用Quartus® II 10 FPGA 和 SoC 采用 Intel 14nm Tri-软件进行10代产品开发。

用,进一步加速 FPGA 向传统 ASSP 和 ASIC 应用领域的拓展。10 代器件进行 水平上,帮助客户将功耗降低 70%。 了优化, 支持客户开发可高度定制的

更低功耗, 更高性能

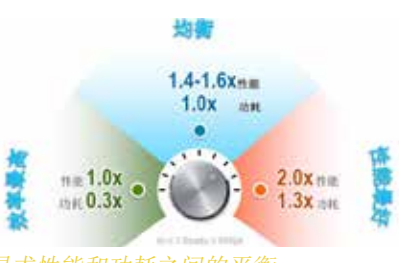
衡。借由一个旋转控制钮可以为解释 ASIC。

Itera公司日 性能和功耗之间的均衡关系。因为有 ★前宣布推出 了英特尔的 14nm 的技术,以及新开。 10代FPGA和SoC 发的架构,如果是在同样的性能水平, (芯片系统), Altera的功耗能够降低 70%。相对于 帮助系统开发人 Stratix 5 FPGA, 如果性能是它的两倍; 员在性能和功效 新一代 Stratix 10 的功耗只需要增加一 上实现了突破。 点。对于系统来说,功耗以及散热有 10代器件在工艺技术和体系结构基础 一个硬指标,但是客户希望能够在硬

Stratix 10 FPGA 和 SoC 设计支持 Gate 工艺和增强高性能体系结构,工 Altera 公司产品营销资深总监 作频率超过了1 吉赫兹,两倍于当前 Patrick Dorsey 表示,"我们的 10 代产 高端 28nm FPGA 的内核性能。对于功 品将促进可编程逻辑在新市场中的应 耗预算非常严格的高性能系统, Stratix 10 器件能在与前一代产品相当的性能

解决方案,极大的提高了系统性能和 界最好的性能和最高水平的集成度, 系统集成度,同时降低了运营成本。"包括:单个芯片上集成超过四百万个可编程器件设立了新标杆,以最低的 逻辑单元; 56-Gbps 收发器; 10-Tera- 中端器件功耗提供当前高端 FPGA 的 FLOP单精度数字信号处理;第三代 性能和功能。利用针对 TSMC 20nm Patrick Dorsey 说,对于客户来说,超高性能处理器系统;以及多芯片 3D 工艺进行了优化的增强体系结构,Ar-他们总是在寻求性能和功耗之间的平 解决方案,可集成 SRAM、DRAM 和 ria 10 FPGA 和 SoC 比前一代器件的性





重塑中端器件

Patrick Dorsey 介绍说, Arria 10 Stratix 10 FPGA 和 SoC 实现了业 FPGA 和 SoC 是 10 代系列产品中最早 推出的系列器件。该系列器件为中端 能更强,而功耗降低了40%。

的高端 FPGA 更丰富,而性能提高了

15%。Arria 10 FPGA 和 SoC 反映了硅片

融合的发展趋势, 实现了系统集成度

统,该系统具有1.5 GHz 双核 ARM®

Cortex[™]-A9 处理器。Arria 10 FPGA 和

SoC 含有 28-Gbps 收发器, 带宽比当

前一代产品高4倍,系统性能提高3

倍,包括支持 2666 Mbps DDR4 以及

用了突破性的电源解决方案,经过预

验证、使用方便的解决方案有助于产

品更迅速面市;更小的引脚布局、更

少的元器件和更高的性能节省了电路

板空间: 高效和低噪声提高了系统可

值得一提的是, Altera 的器件采

15-GbpsHybrid Memory Cube.

靠性。

Arria 10 器件的特性和功能比目前 Arria 10 Arria 2 10 最高的中端器件,包括115万逻辑单元 (LE)、集成硬核 IP 和第二代处理器系



开发套件实现效能突破

10 代器件由 Altera 的 Quartus II 开发软件和高级设计流程工具提供

支持,这包括 OpenCL 软件开发套件 (SDK)、SoC 嵌入式设计套装(EDS) 和 DSP Builder。利用这一前沿的开发 工具套装,设计团队提高了效能,同 时也方便了设计团队在其下一代系统 中采用 10 代 FPGA 和 SoC。与前一代 产品相比,采用 Quartus II 软件, 10 代 FPGA 和 SoC 的编译时间缩短 8 倍, 仍然保持了业界最快的编译时间。编 译时间的有效缩短,是因为采用了现 代多核计算技术的前沿软件算法。

据了解,早期试用客户目前正 在使用 Quartus II 软件开发 Arria 10 FPGA。Arria 10 器件第一批样片将于 2014年年初发售。Altera 将于 2013年 提供 14nm Stratix 10 FPGA 测试芯片, 2014年为 Stratix 10 FPGA 提供 Quartus II 软件支持。

www.altera.com.cn/

全_新_设计



North America: Europe: China

功率系统设计:推动全球创新

www.powersystemsdesignchina.com



新型 LED 车前灯和 DRL 需要 高性能的 LED 驱动器

更高性能和更高性价需求促进高亮度 LED 应用持续增加

作者: leff Gruetter, 凌力尔特公司电源产品部高级产品市场工程师

汽车照明系统设计师最大的挑战之一是: 怎样优化最新一代高 亮度 LED 的所有优势。高亮度 LED 需要一个准确、高效率的 DC 电流源,要有调光方法,而且必须提供各种保护功能。

了,包括日间行车灯、刹车灯、转向灯和车内照明 等,但专门针对车前灯应用的 LED 还是比较新。目前, 仅有少数量产车提供了 LED 前灯, 其中包括本田雅阁、 奥迪A8 和 R8、雷克萨斯 LS6ooh 和 RX45oh、丰田普瑞 斯、凯迪拉克凯雷德以及保时捷卡宴。有些业界估计数 据表明, 2013 年 LED 前灯市场大约为 15 亿美元, 预计 到 2014年,该市场将超过 30 亿美元,并继续以指数级增

汽车照明系统设计师最大的挑战之一是: 怎样优化最 新一代高亮度 LED 的所有优势。高亮度 LED 需要一个准 确、高效率的 DC 电流源,要有调光方法,而且必须提供 各种保护功能。此外,这些 LED 的驱动器 IC 必须设计为 能在多种多样的条件下满足上述要求。因此,电源解决方



图 1:2013 本田雅阁旅行 / 混合动力车型的 LED 白天行车灯

案必须效率非常高、提供坚固的功能和可靠性,同时又是 非常紧凑和经济实惠的。可以说,就驱动高亮度 LED 而 言,要求最苛刻的应用就是汽车前灯照明应用,包括白天 行车灯和前灯, 因为这类应用所处的是严酷的汽车电气环 境,必须提供大功率,一般在 15W 至 75W 之间,还必须 放入空间非常有限的外壳中,在达到所有这一切要求的同 时,还要保持富有吸引力的成本结构。

LED 白天行车灯和前灯

尺寸小、寿命极长、低功耗、更强的调光能力等优势, 是高亮度 LED 白天行车灯和前灯得到广泛采用的催化剂。 几家汽车制造商 (例如奥迪和梅塞德斯奔驰、以及雷克萨 斯和丰田)都用 LED 设计了非常独特的白天行车灯,让 这些白天行车灯成为前灯的"眉毛"或"底线",以此彰 显品牌的独有魅力。这些应用不仅从设计角度来看非常独 特,而且在提供可靠、具成本效益的解决方案时也有一些 设计挑战。随着高亮度 LED 逐步用在近光和远光前灯中, 这些挑战也变得愈加显著了。

用 LED 构成汽车前灯和白天行车灯有很多优势,产 生了几种积极影响。首先, LED 灯从不需要更换, 因为它 们的可靠寿命长达 10 万小时以上 (使用年限为 11.5 年), 超过了车辆的寿命。这就允许汽车制造商将 LED 灯永久 性地嵌入到车身中, 而无需为进行更换留出操作余地。 LED 灯还有助于极大地改变车辆款式,因为 LED 照明系 统不需要高强度放电灯或卤素灯所需的深度或面积。从输 入电功率提供光输出(以流明为单位)时,高亮度 LED 灯

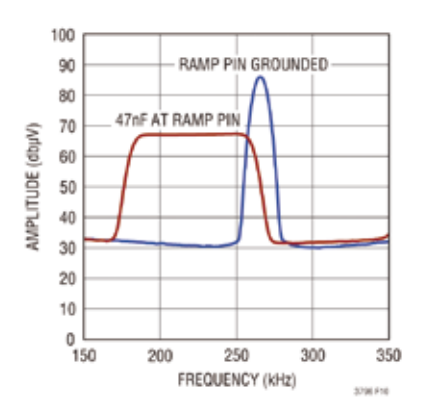


图 2: LT3795 输出噪声频谱比较

还比卤素灯的效率高(而且不久就将超过高强度放电灯)。这有两种积极影响。首先,可以耗费更少的汽车总线电功率,这在电动型汽车和混合动力型汽车中尤其重要,同样重要的是,效率高还可以减少需要在外壳中散出的热量,从而无需任何笨重、昂贵的散热器。最后,通过在前灯阵列中使用高亮度 LED 阵列,并以电子方式进行转向以及调光,可以很容易地设计LED 阵列,并为很多不同的驱动情况而优化照明。

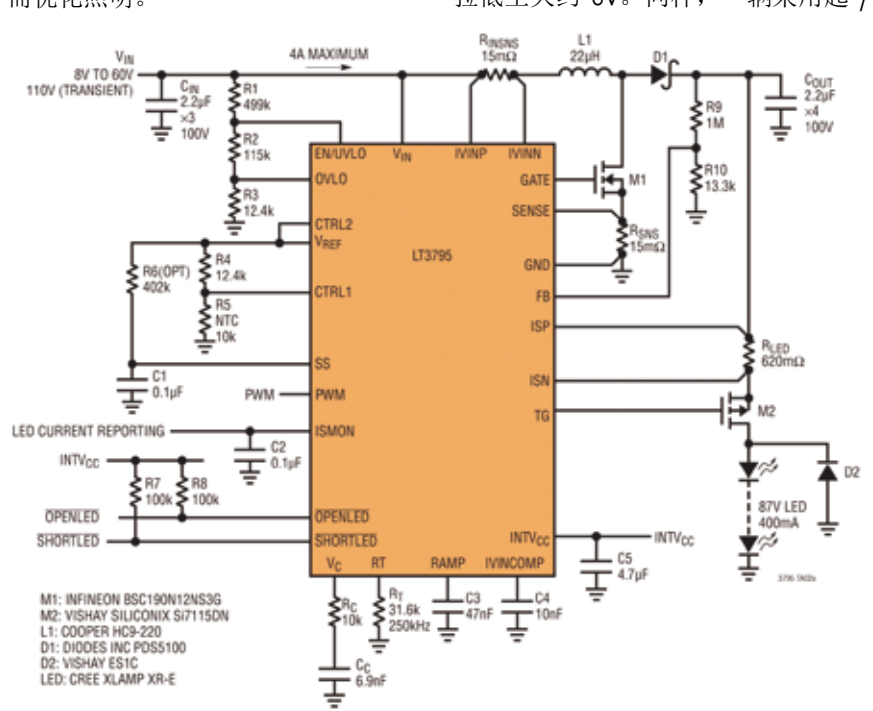


图 3:具备输入电流限制和扩展频谱频率调制、效率为 93%、功率为 50W (87V、575mA) 的降压型 LED 驱动器

设计参数

为了确保最佳性能和长工作寿命,LED需要一种有效的驱动电路。这意味着,无论输入电压源怎样变化,驱动器IC都必须高效率地提供准确的DC电流并提供准确的LED电压调节。其次,驱动器IC必须提供一种调光方法,还要提供多种保护功能,以防遭遇LED开路或短路故障。除了依靠电气环境十分恶劣的汽车电源总线可靠地工作,驱动器IC还必须经济实惠,节省空间。

起/停、冷车发动和负载突降情况

虽然汽车系统电源总线在交流发电机给电池充电时采用 14V 的标称电压供电运作,但是汽车运转中不同的状况会导致该电压短暂地下降到低至6V (在冷车发动或车辆起 / 停期间)。在非常寒冷的天气里,冷车发动状态会从电池抽取很大的电流以弥补发动机润滑油的高粘度,而这又会把电压拉低至大约 6V。同样,一辆采用起 /

停功能的汽车也会在引擎重新发动时将电池电压拉到 6V 左右,而电池在车辆的发动机和交流发电机关闭时将承担照明、空调和其他车载娱乐设备的繁重供电任务。当电池电缆意外断接/重接(即:出现松动)而交流发电机仍然对电池进行充电时,就会发生负载突降情况,从而导致高达 6oV的瞬态电压尖峰。

短路保护

就白天行车灯和前灯而言,单 串高亮度 LED 串中包括 6 到 20 个 LED。由于标称输入电压为 13.8V, 在 某些瞬态情况下甚至更低, 所以一般 首选升压型 LED 驱动器架构, 因为这 种架构比 SEPIC 或降压 - 升压型设计 效率更高、更简单和具成本效率。不 过,直到不久前,升压型架构一直难 以抵御短路的影响。在汽车应用中这 一点尤其重要,因为 LED 在前端碰撞 中容易被损坏, 而且任何电弧都可能 点燃溅出的汽油。由于这个原因,过 去大多数前端照明 LED 应用都采用更 昂贵和更复杂的 SEPIC 解决放案,这 种解决方案具备固有的短路保护能 力。然而, 随着新的和具备非常坚固 保护能力的升压型 LED 驱动器的出 现, 未来的应用将会采用这种设计, 以提供效率更高和具成本效益的解决 方案。

EMI 问题

降低 LED 驱动器的任何电磁干扰 (EMI) 都有利于电源总线的总体设计。因为 LED 驱动器通常是基于开关稳压器的,所以降低开关噪声是人们所希望的。这可以通过采用扩展频谱频率调制来实现。正如在图 2 中可以看到的那样,这种调制方法通过在较宽的频率范围内扩展频谱,将输出开关噪声降低了 20dB,从而极大地减轻了EMI问题。

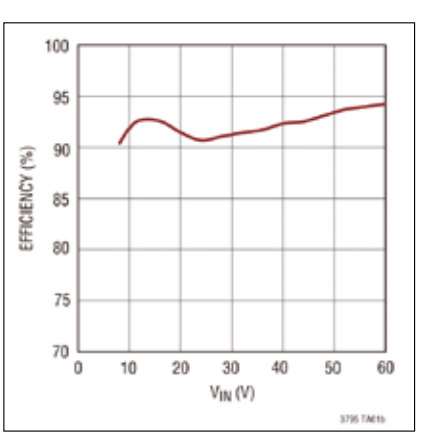


图 4: 采用 LT3795 的图 3 所示电路之 LED 效率

一种新的汽车高亮度 LED 驱动 器控制器

幸运的是,对这些困境有一种新的解决方案,那就是凌力尔特公司的LT3795 LED 驱动器。LT3795 是一款升压型 DC/DC LED 驱动器,可提供超过100W的LED 功率。该器件具备6V至110V的输入电压范围,因此非常适用于汽车、商用卡车甚至航空系统中的多种高亮度LED应用。其高压侧电流检测设计可配置为升压模式、降压-升压模式、SEPIC和降压模式架构,从而可提供多种设计灵活性。此外,其输出电压可以在 oV至110V的范围内设定,从而能驱动多种单串LED,同时在升压型设计中,能提供非常坚固和简单的短路保护。

一种典型的 50W 前灯应用如图 3 所示。这个应用采用了升压型架构,以提供高达 87V 的 LED 电压,该电压能以超过 600mA 的 LED 电流驱动多

LED

达 20 个 LED。大多数白天行车灯都 采用 8 到 15 个 LED,电流在 35 mA 范围内,而近光前灯会采用约为 5 oV 的 1A LED,远光前灯则可能采用高达 2A 和 5 oV。LT3795 可用于所有这些应用。

LT3795 采用高压侧电流检测方法,从而使该器件能用于升压型、降压型、降压-升压型或 SEPIC 和反激式拓扑。此外,LT3795 提供输入和输出电流限制及监视,以增强可靠性和设计灵活性。LT3795 在升压模式还可以提供超过 94% 的效率,从而最大限度地减小了对外部散热器的需求。频率调节引脚使用户能在 100kHz 至1MHz 范围内设定频率,从而可优化效率,同时最大限度地减小外部组件的尺寸和成本。还可以启动扩展频谱频率调制,以通过将开关频率降低20dB来改善电磁兼容性。

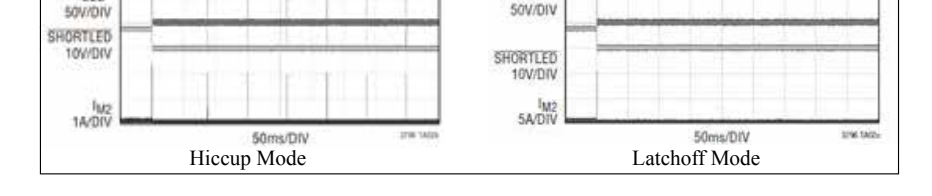
LT3795 集成了短路保护功能,当检测到短路时,该功能使稳压器停止切换,并断开 LED 阵列与电源通路的连接。此外,该器件还通过SHORTLED 引脚报告短路情况。在短路保护启动以后,可以设定 LT3795以运用"打嗝"(Hiccup)模式,看短路是否已得到纠正,或运用锁断模式,该模式要求切换 EN/ULVO 以重新启动该器件。不管输出电压高低,这种功能都为升压以及降压 - 升压型应用提供了非常坚固的短路保护。此外,LT3795 还提供 LED 开路保护并报告开路情况,这样如果一串 LED 中的某

个 LED 开路了,这些 LED 就不会被损坏。

LT3795 提供 ±3% 的 LED 电流准确度,这可确保用在一个 LED 串提供恒定照明,同时该器件 ±2% 的输出电压准确度允许提供几种 LED 保护功能,还使转换器能作为衡定电压源工作。LT3795 可运用 PWM 调光提供高达 3000:1 的调光比,或提供调光比高达 20:1 的模拟调光。其他功能包括输出断接、输入和输出电流限制 / 监视器以及集成的故障保护。该器件的高集成度和耐热增强型 TSSOP-28 封装可构成非常紧凑的高亮度 LED 驱动器解决方案。

结论

对更高性能和更高性价比永无止 境的需求,促进了高亮度 LED 应用的 持续加速增加, 尤其是在汽车白天行 车灯和前灯中的 LED 应用。这种需求 必须要有新的高亮度 LED 驱动器 IC 才能满足。这些 LED 驱动器必须提供 恒定电流,无论输入电压或 LED 正向 电压怎样变化,都能保持一致的亮度, 同时这些 LED 驱动器还必须以高效率 工作、提供非常宽的调光范围、以及 各种保护功能 (例如:短路和开路保 护)以提高系统可靠性。当然,这种 LED 驱动器电路还必须提供占板面积 非常紧凑、扁平和热效率非常高的解 决放案。幸运的是,凌力尔特公司不 断地重新定义 LED 驱动器系列,以凭 借 LT3795 等高亮度 LED 驱动器 IC 应 对这些挑战。此外,我们已经开发了 一个完整的大电流 LED 驱动器 IC 系 列,该系列专门针对汽车应用,从先 进的前向照明前灯到 LCD 背光照明, 可用于多种应用。在汽车照明系统不 断要求性能更高的 LED 驱动器之际, 设计师有了创新的 IC 解决方案以满 足他们的要求。



SS 2V/DIV

图 5: 图 3 所示电路在打嗝模式和锁断模式的短路保护

www.linear.com.cn

更智能的网络工具加速功率级 设计

实现解决方案尺寸和成本更小化

作者: Steve Clemente, 国际整流器公司(IR) 高级技术专家

通过使设计者可以精确评估其新的功率级设计, 在一个实际的时 间上, 具有尖端热性能和频率分析能力的最新在线工具可以实现 最新的功率半导体技术,主要用于在提高效率和可靠性的同时, 实现解决方案的尺寸和成本更小化。

简介:压力下的功率设计

变得更短, 而各公司的产品供应更加 多元化, 可以针对一种应用或其它应 用进行量身定做。如今的设计小组还 必须指导着不断增加的资源的分配, 以解决合规性问题。这些额外的要求 一般在损耗功率级的设计中才能遇 到,包括电子和热性能机制方面的排 战,通常要求劳动密集型的工作。

采用最新的功率器件,将缺少评 估新设计的机会,设计者会尝试利用 采用旧式或低效器件的知名或经过认 证的解决方案。这会给终端产品带来 问题, 例如, 可能要求采用一个相对 较大或较贵的散热器, 而它在基于现 代功率半导体技术的新型设计中可能 已经减少或完全省去了。

面向应用的工作

在线设计工具很可能会帮助您 加速功率级的设计, 但是基本的基于 网站的器件选择器却只具有有限的数

值。图1所示的一个典型的示例列出了 近些年来,典型的产品设计周期 各种主要参数,但没有提及到热性能 阻。 或工作频率。

> IR于2011年推出了基于网络的下 一代工具,通过实现对于温度和频率 等关键应用参数的分析,完成了极具 价值的进步。在早期版本中, 背景中 的引擎计算在整个工作条件下(很简 单,但却具有代表性)的工作结温。 最新的版本进一步缩小了热环境和器 件本身之间的差异,并且提供了扩展

器件的热阻, 以及表面安装器件的热

图2到图6显示了当创造一个家用 电器等小型电机驱动时, 网站工具如 何评估几种备用的IGBT和设计方法。

封装特性和电子工作条件输入到 对应的表格中,包括对于10µs额定短 路保护时间的定制化要求。指定了贴 附在三相桥上的一个简单的散热器芯 片,并且输入了12℃/W的热阻。

网站工具会采用这一数据计算在 的功能,使得设计者可以考虑到散热 指定应用条件下的功耗。仅仅把那些

Part	Family	Package	Circuit	Switching	Switching Speed	VCES (V)	IC @25C (A)	IC @100C (A)	VCE(ON) @25C typ (V)
IRG48C15UD	IGST Co-Packs: IGST with Anti-Parallel Diode	T0-220AB	Co-Pack	Hard	ULTRAFAST 8-30kHz	600	14	7.8	2.02
IRG4PC30UD	IGBT Co-Packs: IGBT with Anti-Parallel Diode	TO-247	Co-Pack	Hard	ULTRAFAST 8-30kHz	600	23	12	1.95
IRGS10B60KD	IGST Co-Packs: IGST with Anti-Parallel Diode	D ¹ -Pak	Co-Pack	Hard	ULTRAFAST 8-30kHz	600	22	12	1.80
IRG\$40560	IGBT Co-Packs: IGBT with Anti-Parallel Diode	Di-Pak	Co-Pack	Hard	ULTRAFAST 8-30kHz	600	24	12	1.55
IRG48C20KD	IGST Co-Packs: IGST with Anti-Parallel Diode	T0-220AB	Co-Pack	Hard	ULTRAFAST 8-30kHz	600	16	9.0	2.27
IRGP40660-E	IGBT Co-Packs: IGBT with Anti-Parallel Diode	TO-247AD	Co-Pack	Hard	ULTRAFAST 8-30kHz	600	140	90	1.70
IRGP4063D	IGST Co-Packs: IGST with Anti-Parallel Diode	TO-247	Co-Pack	Hard	ULTRAFAST 8-30kHz	600	96	48	1.65
IRGIB15860XD1	IGBT Co-Packs: IGBT with Anti-Parallel Diode	TO-220 FullPak	Co-Pack	Hard	ULTRAFAST 8-30kHz	600	19	12	1.80
IRG48C15MD	IGST Co-Packs: IGST with Anti-Parallel Diode	T0-220AB	Co-Pack	Hard	FAST 1-8kHz	600	14	8.6	1.88

图1: 网页用产品选择表的典型示例,仅提供了基于标准测试条件的相关器件参数



图2: 评估引擎采用这一屏幕中的引擎, 以去除所有在指定的工作条件下, 超出规 定结温的器件

Part Number	Just Temp. 10	Tabil Pd: W	Switch, Pd, W	Cont. Pd. W
IRGB4B60KD1PbF	68.3	0.88	0.36	0.52
IRG4BC10KDPbE	70.1	0.94	9.41	0.53
IRGB6B60KDPbF	70.4	1.09	0.67	0.42
IRG4BC15MDPbE	84.2	1.90	1.51	0.39

"AU" prefix in part number indicates qualification to Q10"

图3:满足图2中满足标准的四个IGBT。它们根据工作结温进行排序一即与效率紧 密相关的数据

Part Number	Junes Temp. *C	Total Pd, W	Switch, Pd, W	Cond. Pd. W
IRGR3860KD2PbE	96.4	1.04	0.53	0.50
IRGR2B60KDPBF	110.5	1.39	0.78	0.61

"AU" prefix in part number indicates qualification to 0101

图4: 图2中所示输入已经变更为要求的表面安装型IGBT,返回的器件很可能比图3 中所示的器件更便宜

可以在低于目前限制结温下运行的器 件会作为备选器件恢复。温度限度等 于最大的额定结温,低于图2中的降 紧密相连。 额输入。很重要的一点是,需要记住 功耗和温度的数据都不是绝对的, 仅 可用于对潜在的备选器件进行比较。

IGBT是图3中所显示的四个。他们根 据工作结温进行排序,当然还与效率

工具可用于探索备用解决方案, 如不采用散热器进行的表面安装。设 计改版为指定表面安装型DPAK封装, 在图2中所输入的、满足要求的 到环境的热阻为40℃/W。这就表示 25℃的结温。IRGR4045的额定温度

采用4-6oz.覆铜薄板,孔在IGBT的下 面。所有的其它的运行条件都相同。

图4中显示了,这一次工具返 回了两个IGBT。在图3中,功耗接近 IGBT的功耗,但是封装和模都比较 小,DPAK器件很可能会更便宜。结 温可能稍微高些, 但是却保持在额定 结温和PCB性能的限度之内。

从10µs到5µs(正好在典型电流 感应IC的响应时间之内),短路时间 要求在缩减,可以帮助定义其它一些 可能满足这些应用的适当器件。

此时,在图4中显示出工具返回 到两个相同的IGBT,再加上一个新的 IGBT (图5), 允许更低的功耗和更低 的结温。不足为齐的是,这种更高效 的IGBT是一种更新型的Trench类器件, 而其它两个都采用平面技术制造。

现在发布了工具的最新版本, 使 设计者可以通过比较备用IGBT的相关 性能,将其分析再推进一步,这样可 以找出关于它们性能的更多资料。

通过点击每个型号左边和按钮 "电流与频率图表"中的方框,即可 生成图6中的曲线图。在之前的图片 中, 电流和频率是固定的。请注意, 在这一曲线图中,结温是固定的,而 温度是摆动的, 电流是最终的结果。

重新定义设计

如果6所示,工具非常清晰的表 明,IRGR4045比其它两个IGBT具有更 好的传导特性,因为它在低频下搭载了 更多的电流。还有一点很清晰, 即载 流性能随着频率的增加,下降的更快, 指出了更高的开关损耗。正如熟练设计 者会有所关注的,特别是在电机驱动应 用中,快速的开关经常会转换成EMI问 题,并不会按需转换为实际的优势。

所示的表格同样提供了工作 结温和功耗的指示。根据第一屏中 的输入,测算表指出从最大值降低



CURRENT V. FREQUENCY CHART

图5: 放松短路要求使得工作更高效并且器件价格更便宜

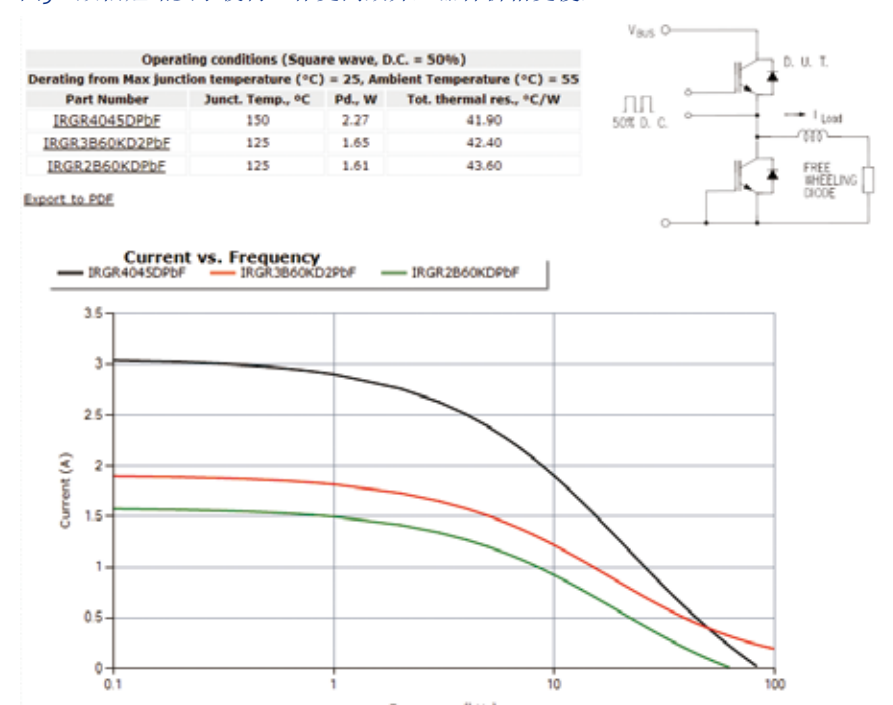


图6: 电流与效率曲线给出了导通和开关性能,以帮助对器件进行比较

为175℃,而其它产品的额定温度为150℃。这也是为什么IRGR4045的曲线远高于其它两个的原因。

在实践中,PCB的限制会阻碍示例电机驱动利用IRGR4045更高额定温度这一优势。然而,如图5所示,IRGR4045在特定的应用中,具有最低的工作温度。这就提供了另外一个最优的暗示:省去了PCB上的孔并采用40z.铜板,从而可以去除BOM中的一些成本预算。通过回到器件选择器,可以检测到功率和温度的影响,就是说将热阻从40℃/W提升到50℃/W,并且对结果进行检测。

这一示例显示出了这个网站工具的最新版本在帮助设计者评估其电源

系统的整体性能,以及在优化成本、 效率和可靠性方面,如何比以往的版 本更高效。

未来工具

我们仍能继续提升在网站功率设计技术方面的前沿技术。IR已经为未来的开发定义了两个主要区域。其中一个是对于转换器周期和损耗实现更具表现力的计算。在图6的机制中,对在持续电流模式下,50%周期中操作的主体计算损耗。在这种工作模式下,与IGBT封装在一起的二极管并不导电。然而,后补二极管导电,却没有计算其损耗。

由于二极管不导电, 因此针对

上面器件所计算出的结温在形式上 仍然是正确的,但是计算表格未能 表示出实际寿命的应用,因为循环 周期可能更高或更低,而损耗会相 应的产生变化。

为了克服这一限制,IR已经开始 开发专用工具。这就为设计者提供了 机会,可以考虑到大量的外部元素, 如不同调制战略的影响,以及电机驱 动中,IGBT仅在一半的电机电流周 期内传导,而在另一半中为其二极管 进行传导这一事实。专门为电机驱动 制作的工作将充分考虑到所有这些因 素,同时不会忽略散热环境。它将根 据用户所输入的调制指数和功率因数 计算循环周期。

第二个提升在于一个事实,即在 热阻数量内,热环境不可能被恰当的 定性,因为热量不会从一个点线性流 入到另外一个点,而是根据热差的驱 动,向不同的方向流动。没有"散热 器温度"或"结温"这些数据,而是 在连接表面上有温度的分配,在散热 器内具有3-D温度分配。

精确模拟热环境所需的热分析工 具已经以FEA引擎的形式推出,可以 嵌入在工具之中。挑战在于创建一套 适当的散热器模型。这种模型是在特 定要求领域中开发出来的,如汽车领 域。未来的道路是将这些模型标准化 并使其更适用于一般应用。

结论

新一代功率半导体可以缩减总的解决方案尺寸和成本,同时提高增强的可靠性和效率。然而,时间压力会阻止设计者探索新的机会并鼓励旧式设计的再应用。结论证明了终端产品中的次优性能。最新一代的网站工作在加速功率设计方面非常高效,并且可以帮助设计者利用新产品设计中最新技术的优势。

www.irf.com.cn

自动测试设备的配电网络设计

自动测试设备集中式电源架构到分比式电源架构的转换

作者: Maurizio Salato, VICOR

随着仪器板卡在通道及负载的数量和多样化方面需求的增长,分布式电源构架成为必然的发展。一种简单、集中式电源设备给背板配电系统提供了单路调整的DC电压,典型值是48V。

TE (Automated Test Equipment,自动测试设备) 一直采用集中式电源构架。电源箱(银盒)提供了 若干标准的供电电压,他们被连接至各测试板卡上。这 种安排有效且方便,因为仪器板卡电路并不需要较高的 功率电平:大部分电压是通过最接近的供电电压线性转 换获得,并从集中的电源箱(银盒)电源传送至每个卡。 此外,早期的 DC-DC 转换器价格昂贵、体积庞大、噪声 大且不为电源设计者所熟悉。

随着仪器板卡在通道及负载的数量和多样化方面需求的增长,分布式电源构架成为必然的发展。一种简单、集中式电源设备给背板配电系统提供了单路调整的DC电压,典型值是48V。

测试板卡则通常在其周边预留地方放置DC - DC转换器,转换器输出与测试线路的需求紧密匹配。

如今的测试电路需要更高的功率,且电压、电流要求的范围很宽。同时,测试仪表需要的不仅仅是功率,还需要能够准确、快速地调节不同的电压轨,以完整地表征被测器件的模拟电路部分。功率系统成为自动测试设备的关键部分,VLSI或SoC不断发展的性能和先进的设计驱动着他们的发展。



图1: 自动测试设备配电架构的发展

在48V电压范围,"更高密度"、"更高动态"的 趋势是种挑战,因为更高的电流需要为组装密集的电路 板放置较大的铜排。如今正在探索的一些新概念包括: 分比式电源构架(Factorized Power Architecture)和400V 直流配电。

后续我们将分析各种仪表卡乃至测量线路中的仪表板卡和被测器件的要求是如何影响ATE系统的电源配电架构,以及如何影响ATE机架内部需要优化配电网络的主要设计参数。

对配电网络设计的考虑

正如上一段中所提到的那样,如图2所示,集中式电源已经被弃用了相当长的一段时间,当今具有背板配电的分布式电源是标准的方法。电信和数据通信行业在很长一段时间一直使用这种方法,他们在很多方面面临着与现代化自动测试设备相同的挑战。

事实上,自动测试设备需要验证和表征的相当一部分硅芯片也用于电信系统、计算分析及路由系统。电信业则利用这些系统在世界各地传送不断增长的有线和无线数据量。这两个行业之间最引人注目的相似性是都需要密集和分散的功率系统,虽然其目标各不相同:自动测试设备需要吞吐量和灵活性,电信和数据通信系统则追求总拥有成本(TCO)。

从系统的角度对设计的考虑

物料清单

目标: 尽量减少物料清单

配电物料清单直接受一个主要参数的影响: 背板分



表1: 传输功率与配电电压的关系,优化了总成本

背板或中间配电的直流电压	最佳功率范围
12V	小于5kW
48V	4kW到20kW
380V	大于15kW

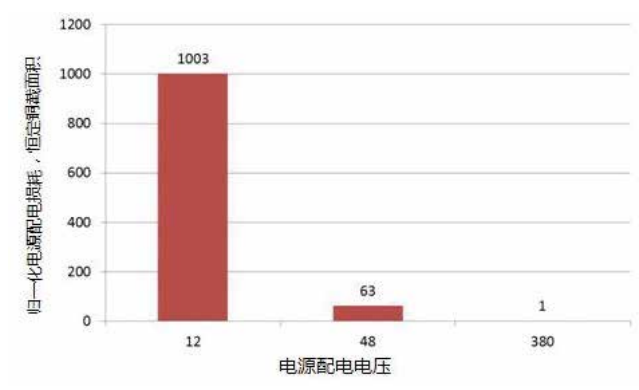


图2: 归一化的配电损耗与配电电压间的关系(恒定铜截面)



图3:显示从380V直流配电到点负载供电的标准两级设计实例。左侧是一个由两个400V高压母线转换器组成的板卡,中间靠近回形针处是单个400V到12V母线转换器,上方是一个传统的12V降压转换器方案的多相稳压器模块(VRM)

中心研究的指导原则。虽然仅有那些支持更高量级并行测试的自动测试设备提出超过20kW的功率需求,很显然,48V的背板可能不再是最好的选择,拥有较低电流的400V背板是备选解决方案。

操作成本、效率及损耗、热能管理

目标: 通过控制配电损耗优化热管理系统

虽然背板上的热管理通常不是件困难的工作,但仪器板卡的功率系统控制却有相当的难度。此外,仪器卡上的电源总线占据了卡本身"宝贵的面积",因此,最符合逻辑的选择是将卡上的背板电压尽可能靠近实际负载分配,该负载可能是测量线路或板上DC-DC转换器。很显然,如果使用一个低背板电压,例如,12V背板,那么PCB板上的铜不仅必须具有适当的大小,而且应当受到适当的冷却。

一个并不显而易见的方面是当电流水平提高时,难以准确地补偿DC (I2R) 和AC (L•di/dt) 压降。当配电电压降至低于48V时,设计师可能需要超大的转换器的动力系统,并添加滤波和去耦网络。

灵活性和分散性

目标: 在测试卡的设计和配置上实现最高程度的灵活性

仪表板卡需供电的负载类型变得日益多样化。因此,对于设计师来说,具有分散度组件的功率系统具有显著的优势。一种有效的方法包括采用一个中间总线架构,其中背板电压被有效地降低到一个较低的"中间"总线电压上,接着通过一个标准的同步降压负载点转换器进行调整。

在灵活性的示例中,设计的再使用已经成为一个通常的选择,它对多样性的电源系统的标准化起到了杠杆作用。设计者可以从一套有效的设计中"拿来并裁剪"多种稳压器,以使其在电气上适合特定的负载。再将它们尽可能近的靠近负载本身放置以使动态性能最佳。稳压器群由单一中间母线供电和维持。好的设计经验要求匹配母线转换器的功率吞吐量与下游稳压器的需要,限制条件通常是如何有效的在"板上"分配中间母线。对于电压是12V的中间母线,分配即使300W的功率也需要走25A电流,在高密度设计中这是一种挑战。

可靠性和冗余性

目标:通过面向可靠性和冗余性的设计,实现系统最高的可用性

电源分布网是复杂器材的脊髓,驱动测量系统及被测件。由于一个自动测试设备的寿命通常达数十年,因此必须识别出关键部件,对其故障间隔平均时间(MTBF)进行控制。这包括:

- 适当的电气和热指标降额,降额指标通常被认为 是减少热应力的一种手段,然而电流密度也是失效机制 的重要因素,一个示例是PCB板上走线的电迁移。
- 冗余性, 其故障会危及机器可用性的关键部件应有冗余, 并保证可现场更换。

可维护性和遥测诊断

目标:实现高度的模块化设计,并在系统使用年限为系统提供在线诊断

背板配电具有固有的灵活性,允许非关键负载(如风扇)进行热插拔,容量就是说设备工作时在现场可更换。然而分布网络的另一端也应规划相同的灵活性,以使它们易于接入该大型功率系统。

诊断也成为一个需考虑的关键方面。迅速识别和隔 离组件或子系统问题,以防系统故障的传播很有必要。 分布式和分比式电源构架都为配电网络提供了一种自动化的诊断手段,而在集中式电源构架的情况下,这几乎不可能。传统的分布式电源构架利用"裕量"技术,其中远程的DC-DC转换器受到预先设定的指令序列控制,通过专用的反馈网络来验证所获得的DC或AC的动态特性。现代功率组件和分比架构提供一种更简单的、数字化的接口,其中的监管控制实际上可以通过一个公共串行接口总线轮询实时的状态信息,该总线通常为I2C或UART。

噪声源和抗干扰性

目标:尽量减少系统内EMC和EMI,完成配电网络的去耦,以降低传导和辐射干扰

EMC和EMI通常被视为电源设计的"黑魔法"。但是,一些基本规则是普遍适用的。首先,确定噪声源;第二,在尽可能接近噪声源的位置对其进行抑制或者滤波(假定该噪声无法避免)。遗憾的是,电源配电网络易于在系统内传播传导噪声,且在系统机架内传播辐射噪声。因此,如果未能在各DC-DC器件上实现合适的滤

波,至少应在每个仪器板卡上做到这一点,以避免通过 背板传播串扰。

一个特别隐蔽的问题是在背板以及中间总线上产生的低频噪声。这是由于各种转换器输入电流的相互作用而产生的低频差拍(beat)造成的。设计者可以通过确保每个转换器内的所有开关电流分量完全限制于该转换器之中,来尽量避免这个问题。

结论

配电网络设计是对最先进测试系统的一个挑战。对于选用的功率系统架构,必须进行一定的权衡,并需要仔细对其进行评估。48V背板的分布式电源构架是当今常见的选择,不过,诸如从400V直流配电(图3)的这种先进的分比式电源架构正日益显现其价值,因为它们提供了更高的效率和更高水平的分散性,从而改善了系统密度。

www.vicor-china.com

上接 44 页

化和软硬件研发的优势, 为客户量身订制。

阚工以泛华开发的汽车传感器测试系统为例介绍了 基于"柔性测试"技术的系统设计为客户带来的好处。

汽车传感器测试系统采用母台和测试模块相结合的 方式,两者配合工作。通过更换不同的测试模块,测试 母台可用于多种汽车传感器的测试,对用户而言,不需 要为每种传感器配置测试系统,取而代之定制价格相对 低廉的模块即可,为客户节约了大量成本。在测试过程 中,根据客户对成本和具体测试内容的需求,可灵活地 对系统的控制测量设备进行配置。

作为生产线的至关重要一环,通过自动化生产测试系统保证产品质量,有效降低成本是测控技术应用的目标之一。为此,泛华多年来开发了为数众多的汽车电子测试系统,涵盖了各种汽车测试应用。这些测试解决方案均已在成功用于应用生产线测试或产品研发测试,既帮助客户应对了上述各种挑战,也提高了客户产品的竞争力。

让测试如虎添翼

最后阚宏伟表示,实际上,随着科学技术的进步, 不单单是汽车传感器,其他各种电子装置也日益智能化、 复杂化,以满足消费者舒适性、易用性的要求。汽车电子尤其是电控单元所占的比重及其复杂性越来越高。而随着竞争的加剧,产品设计周期却在缩短。泛华汽车电子测试平台正是基于以上挑战做了充分的考虑:首先从功能定义上该平台可以完成从仿真、功能验证及耐久性测试,可以充分覆盖从初期的产品原型设计、功能及性能验证到产品可靠性评估;从性能和适用性上,系统是基于虚拟仪器、柔性测试技术,能够充分满足越来越高的指标要求。

"柔性测试"技术是多种技术的集大成者,是更偏向于生产应用的测试技术。基于"柔性测试"技术的测试系统集中体现了结构模块化、电气接口标准化及软件组件化的设计思想,并把机电一体化技术、虚拟仪器技术、软件技术等多种技术有机融合,让灵活性、扩展性、适应性三大优点得到体现。

从中国制造到中国创造,需要中国企业有更多的自主核心技术,测试是帮助企业实现自主技术的一种有效工具。泛华作为本土领先的测试厂商,愿意与客户进行深入行业的技术交流,提供更加透明、更加开放的测试系统,通过测试技术帮助汽车厂商突破国外技术壁垒,更快实现中国创造的宏伟目标。



汽车空气质量检测与改善方案

有助于整车厂的产品市场推广

作者:沈顺伟,派睿格恩汽车科技有限公司

本文主要介绍如何通过空气质量传感器来检测可能流入驾驶室 内的空气,并在检测到受污染的空气即将流入时通过关闭空调 系统的进风口来防止驾驶室内空气受污染的原理和控制过程以 及相关的产品。此外,还将介绍一些目前通用的改善驾驶室内 空气质量方法及相关产品。

着中国成为世界最大的汽车市场,汽车消费者的 有害气体的检测原理 题。车内空气质量的影响因素主要来自两个方面: 尾气。本文要讨论的是第二种情况,即空气质量传感 器如何通过关闭空调系统的进风口来防止驾驶室内空 到以下性能: 气受污染的情况。

有害气体的由来和构成

由驾驶室外讲入的有害气体一般有一下两个来源:

- 1、周围环境中存在污染源,比如跟在一辆大卡车后 面行驶,遇到红灯或堵车时,在较长的隧道中行驶时汽车 都会处于较高浓度的废气中,此时的废气如果直接流入驾 驶室内,就会对驾乘人员的健康产生伤害:
- 2、发动机故障导致本车发动机废气进入发动机舱而 流入驾驶室:

此类的废气一般都含有一氧化碳和氮氧化合物。其 中,一氧化碳因易与血红蛋白结合成碳氧血红蛋白,降低 血液载氧能力,导致人体组织缺氧而引起头痛甚至死亡; 氮氧化合物计入肺泡后, 能形成亚硝酸和硝酸, 可造成肺 气肿甚至引发癌症。所以在实践中对于废气的检测也是围 绕着这两种典型化合物来进行的。

以上有害气体可以通过金属氧化物传感器来检测。 ,内饰,动力,安全,油耗发展到了目前的健 其原理是若气体接触到加热的金属氧化物(如 SnO₃, 康,与之相关的一个重要的因素就是车内空气质量问 ZnO,TiO,等),在催化剂如钯(Pd),铂(Pt)等作用下 其氧化还原反应会引起其电阻值会增大或减小。空气质量 是内饰材料所采用的化工原料引起的空气污染:二是 传感器就是通过测量这种电阻的变化并经过复杂的算法 由车外或发动机舱流入驾驶室的有毒气体,比如前车 来计算评估空气质量的。为了达到大批量制造的可行性, 一般采用厚膜技术生产传感器的气敏元件并要求产品达

- 对被测气体具有较高的灵敏度
- 对被测气体以外的共存气体或物质不敏感
- •性能稳定,重复性好
- 动态特性好,对检测信号响应迅速

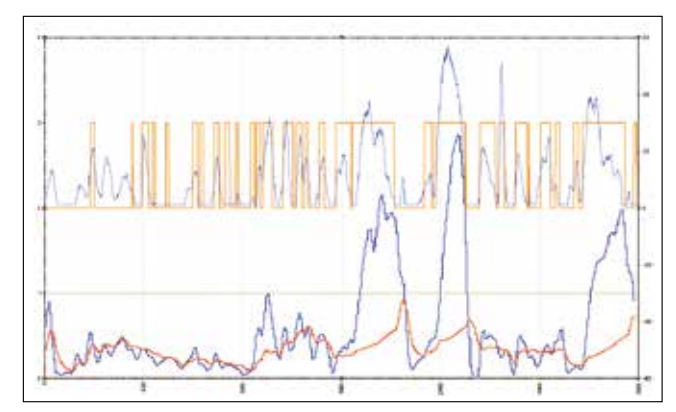


图1: 空气质量传感器的效用(横坐标是时间,纵坐标是





图3: 多功能AOS

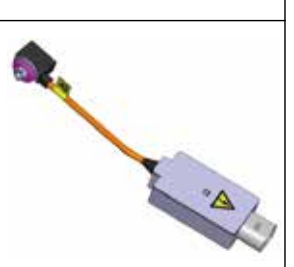


图4: 空气质量改进器



图5: 空气质量调节器

恢复的能力。

空气质量传感器通常安装空调气进气口四周的通

风罩或气室里,如挡风玻璃下的落水槽盖板下。当进

气口打开时,它将探测要吹到汽车里的空气质量。该

系统能自动判断并地适应各种驾驶环境,如城市、乡村、

交通阻塞路口或隧道等。另外, 该系统还有自学习和

自我检测功能以适应不同的污染水平并具备在故障中

空气质量传感器的构成 及工作原理

信号处理单元和接口组成。 的健康。 信号处理单元内含微控制 器, 其接收气敏单元的信 空气质量传感器产品 号,根据预设簋法计簋出 口的决定,并将此信号通 过 PWM 或者 LIN 信号发送 空调系统处于内循环状态, 地延长车内空气过滤器的 氧或过氧化氢来杀菌。 到较好水平或者进风口关 结束语 闭达到一定时间同时车外 空气污染相对较低时, 进风 口将被打开,新鲜空气就会 重新车内以防止车内缺氧。

•制造成本低,使用寿命 空气质量传感器的效用

由于空气质量传感器需要对空调系统的讲风口讲行 自动操作, 所以必须配备在装有自动空调系统的汽车上。 目前市场上绝大部分的中高端车都装备了自动空调并且 许多车型已经配备了空气质量传感器。由于空气质量传感 空气质量传感器可以 器的作用,车辆在经过空气受污染区域时,车内的空气质 量得到了显著的改善。下面的测试曲线表明了空气质量传 感器所起到的明显作用:途中蓝色曲线表示车外空气中氮 氧化物的含量, 红色曲线表示车内空气中氮氧化物的含 量。通过对比可以发现由于空气质量传感器的作用,车内 氦氧化物的水平受到了严格的控制,从而保护了驾乘人员

由于空气质量传感器集合了化学、物理,精密加工 有害气体的含量并作出是 等多种学科的知识,对产品的生产制作的要求极高,故目 否需要关闭空调系统进风 前市场上只有有限的几家厂商能够提供。德国 paragon AG 是全球最大的空气质量传感器供应商, 其产品在所有的德 系车厂及其他品牌汽车上得到了大量的应用并得到了消费 给空调系统,空调系统在作 者的认可。AOS®是空气质量传感器的缩写, Paragon AG 是该商标的注册者,它不仅能提供基础类型的AQS产品(如 汽车处于空气高污染区域, 图 2 所示), 还提供各种带辅助功能的, 如图 3 中带有温 如位于一辆大卡车后面,处 度和湿度传感器以计算露点多功能 AOS。

除此之外, paragon AG 还提供其他的改善车内空气 空气质量传感器便会要求 质量的产品,如图4中的空气质量改进器,其主要的作用 是将进入车内的空气电离,提高车内空气的负离子含量, 以提高驾乘人员吸入空气的质量并有益于他们的健康。图 为驾乘人员提供健康、安全 5是一个空气质量调节器,它主要用于检测空调滤网中的 和舒适的环境并可以极大。微生物和病菌含量, 当微生物和病菌含量超标时, 启用臭

当前,汽车驾乘人员的健康越来越被关注,本文介绍 的空气质量传感器将有效地改善汽车车内空气的质量,因 而将被运用到越来越多的汽车中去。一款高效可靠地产品 不但会带给消费者身心健康, 而且也有助于整车厂的产品 市场推广, 使消费者更容易地接受其产品, 更舒适更健康

www.paragon.ag

WWW.POWERSYSTEMSDESIGNCHINA.COM WWW.POWERSYSTEMSDESIGNCHINA.COM

全 新 设计



North America: Europe: China

功率系统设计:推动全球创新

www.powersystemsdesignchina.com

特别报道:

照明应用

中的 CHINA 功率系统设计: 推动全球创新



内容包括:

现代汽车照明及先进汽车照明解决方案……

8位的价格,32位的性能……

耦合电感式升压转换器设计……

现代汽车照明及先进汽车照明 解决方案

满足环保和节能的要求

作者:安森美半导体

在当今的中高档汽车中,现代照明理念演绎得越来越淋漓尽 致。不管是外部照明还是内部照明,都尽显时尚和个性化。

车不同部分使用的情绪设置模式可控制"个人空间" 1 的光线颜色和亮度,如驾驶员脚下空间或控制台的 背光等。这类汽车照明采用新型光源,在丰富消费者体验 的同时, 也满足了环保和节能的要求。

要实现先进的汽车照明应用, 必须有相应半导体技术 的支持, 作为领先的汽车照明解决方案供应商, 安森美半 导体一直在为汽车照明应用提供各种通用和专用的高能效 器件方案,符合汽车应用的严格要求,满足快速发展的市 场需求。

现代汽车照明系统

近年来,发光二极管(LED)在汽车照明应用中大量 采用。与白炽灯相比,基于 LED 的照明系统使用寿命更长, 功耗更低,设计灵活性更高。这些特性使其非常适合汽车 内部照明应用。此外,随着技术不断进步,涌现出了成本 更低、每瓦光输出更高的白光 LED, 使 LED 更适用于汽车 内部的各种照明应用。

LED 在汽车中的应用领域广泛,如可以设在车顶内饰 中,也可能设在车门下部内饰中,将光聚焦在车内外的特 定区域。LED 还可以集成在门把手、钥匙孔、踏板、杯架 附近,或作为后视镜上的转向闪灯。发光指示的形状可以 非常简单,也可以十分精美,以满足精确照明,为人们提 供便利和美观。

安森美半导体的先进汽车照明解决方案

安森美半导体一直为汽车照明应用提供标准产品和 定制器件,包括普通灯泡驱动器解决方案,以及步进驱动 器、LED驱动器和高强度气体放电灯(HID,如氙灯)驱动器。

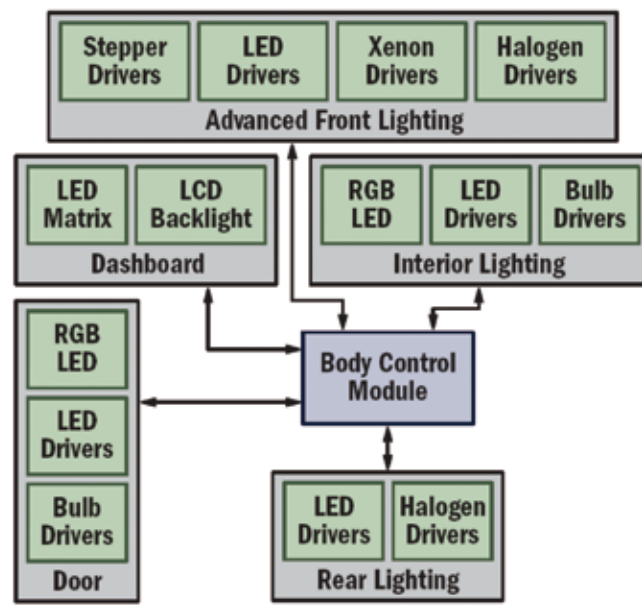


图1: 汽车照明系统框图。

在 HID 驱动专用集成电路 (ASIC) 市场,安森美半导体 开发的前照灯水平调整和旋转步进驱动器已为业界广泛采 用。在车用 LED 照明市场,安森美半导体为车内外应用提 供了丰富的产品组合。在图1所示的汽车照明系统框图中, 安森美半导体都有各种对应的产品。以下将介绍几种主要 解决方案。

1. 前照灯步进电机驱动器

当今的大多数汽车都配备了远光(HB)和近光(LB) 功能的卤素灯, 这是前照灯的主要功能。远光卤素灯典型 功耗为 55 W, 光输出约为 1,000 流明。HID 技术已问世十 多年,功耗约为 35 W,光输出约为 3,500 流明,具有一定 100%的功率进行亮度控制。 的应用优势。随着时间的推移, HID 灯已将远光功能整合

到双氚灯解决方案中。但是, 由于 HID 的高亮度和眩光会 影响驶近车辆的视线, 有些 国家要求自动调整近光灯的 高度。

汽车前照灯的另一个 重要方面是高级前照灯系统 (AFS) 的光束旋转以优化能 见度曲线,而自适应光束调 整((Adaptive Driving Beam, ADB)) 功能可根据实时情况 调整光束。步进电机是AFS 和 ADB 首选的控制器。

安森美半导体的 AMIS-30623 单芯片双极步进电机 驱动器适用于前照灯的水平 调整和旋转控制。该器件带 有集成的位置控制器和本地 互联网络(LIN)接口,可 实现与 LIN 主机远程连接的 专用机电一体化解决方案设 计, 见图 2。它利用电流、 速度、加速度和减速度等可 配置参数,通过总线接收位 置指令,并驱动电机线圈到 所需的位置。AMIS-30623 还 可以检测电机停转。

这款器件嵌入了专用有 限状态机及为先进前照灯系 统要求定制的 LIN 指令集, 还集成了无传感器步损检测 功能, 既能提高可靠性, 也 能减少元件数量和板上空 图4: NCV78663评估板。 间,降低产品成本。

图2: 采用AMIS-0623的前照灯水平调整和旋转电路。

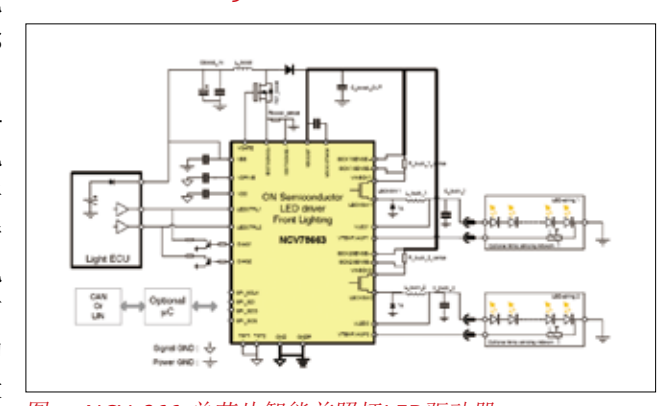


图3: NCV78663单芯片智能前照灯LED驱动器。



2. LED 前照灯系统电源镇流器和双 LED 驱动器

目前,大多数汽车仍采用卤素前照灯方案提供远光和 近光功能,但未来的趋势是使用氙灯和 LED 灯。尤其是 可大幅降低前照灯耗电的 LED 灯应用将快速攀升,5年内 30%的汽车将配备多种 LED 前照灯功能。LED 照明提供 了更时尚的选择,可实现"即时"照明,并允许从o%到

安森美半导体的 NCV78663 单芯片智能前照灯 LED

驱动器是将于 2011 年推出的 新器件, 它支持远光灯、近 光灯、日间行驶灯、位置 灯、转向灯及雾灯的单模块 控制。借助集成的数字调 光、可编程串行外设接口 (SPI) 设置及内置诊断功能。 NCV78663 为前照灯控制提 供了一个集成而全面的高能 效解决方案。

NCV78663 采用降压/ 升压拓扑结构, 只使用少量 外部元件即可实现 LED 电 流调节、恒定均流、高效集 成降压开关(高边)以及高 达 2 A 的电流: 其扩展的诊 断功能包括:检测开路或无 法驱动(failing driver)、短 路、过电流保护和单颗 LED 故障等。此外, 该器件还 具备热保护、通过 SPI 接口 和/或OTP设置进行系统 定制、用一个器件完成多项 系统配置、无需额外滤波的 更好的 EMC性能、电池低 EMC、LED 串低 EMC 等特 点。使用 NCV78663 可以减 少外部元件数量,总能效高 于 90%。该器件的评估板已 经推出,见图4。

3. HID 前照灯全功能专 用集成电路

HID灯的问世改善了前照灯系统的性能。相对于传 统卤素灯,HID改善了显色性,具备低功耗、更长使用寿 命和更高光输出的特点。为了支持先进的功能, HID 前照 灯需要高效率的镇流器和复杂的控制电路。

安森美半导体 HID 灯控制系统是一个采用 8 位微控 制器或专用状态机的混合模拟/数字解决方案。该器件集 成了 DC/DC 控制器,以及丰富的诊断功能(过压、欠压、 温度传感器、寿命计数器)、各种通信接口(LIN、SPI), 支持 35 W (D1/D2/D3/D4) 和 25 W (D5) 灯。

4. 车用 LED 组合尾灯线性电流稳流和控制器

目前,汽车组合尾灯(RCL)越来越多地采用 LED 灯

体组,不仅外形美观、光效 高,更有助于后车清晰地看 到前车的行驶状态。

安森美半导体的 NCV768o是一款线性稳流 及控制器,可以单芯片为组 合尾灯供电,提供更佳的性 能和更高的能效,且占位面 积比市场上的方案更小。该 器件包括8个线性可编程恒 流源,适用于汽车固态组合 尾灯(RCL)的稳流和控制,

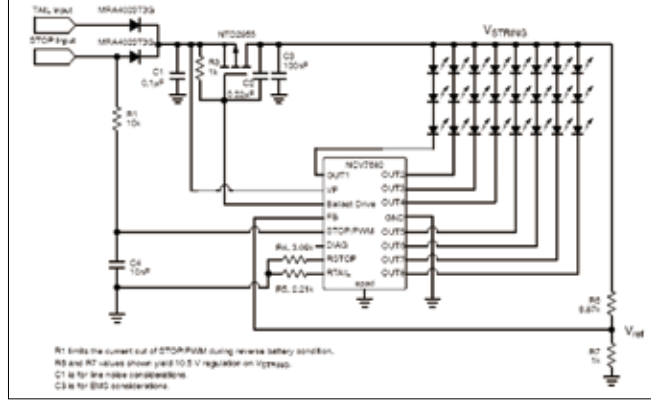


图5: 采用外部FET晶体管镇流器的应用电路

支持高达每通道 75 mA 的发光二极管(LED)驱动电流。

NCV768o 集成了众多功能,支持两个亮度等级,一级用于停车,另一级用于尾部照明。如果需要,也可使用可选的脉宽调制(PWM)控制。系统设计人员只需使用一个外部电阻设定输出电流(整体设定点)。另外,针对要求大电流的设计,可选的外部镇流器场效应晶体管(FET)可以根据设计所需的高电流进行功率分配。延迟的功率极限降低了在过电压状态下的驱动电流。这对于没有外部

FET 的低电流应用来说十分重要。

该器件的典型应用包括组合尾灯、日间行车灯(DRL)、 雾灯、中央高位刹车灯(CHMSL)阵列、转向信号灯和 其他外部调制应用、液晶显示器(LCD)背光、照明模块

> 等。与分立方案相比,该器件可更好地匹配 LED 输出, 开漏输出功能的开路 LED 串诊断,易于发现故障。

总结

安森美半导体一直在 利用其先进汽车工艺技术为 汽车照明应用提供各种标准 产品和定制器件。除了上述 介绍的一些方案,还有采用 线性和开关电源(SMPS)

的 LED 驱动器、LED 电流稳流器、中央高位刹车灯恒流稳压器等业界领先的产品和解决方案。

与采用先进汽车工艺技术的各种汽车应用产品一样, 所有这些集成电路均符合汽车可靠性和温度等规范和环保 要求,同时能够满足人们对车内照明控制、前照灯、后组 合灯、雾灯、示廓灯,尤其是新光源等方面越来越高的要求, 让驾驶者充分体验到照明所带来的舒适性和乐趣。

www.onsemi.cn

全_新_设计



North America: Europe: China

功率系统设计:推动全球创新

三约主办[5]

🦊 特别报道:照明应用

8位的价格,32位的性能

基于 ARM Cortex-Mo 处理器内核的 XMC1000 单片机

作者: Dirk Heinen、Arno Rabenstein, 英飞凌科技股份公司

凭借全新XMC1000单片机家族,英飞凌为8位产品带来了32位的选择,在性能大幅度提升的同时,仍然保持8位价格。

MC1000产品家族是以来自ARM的标准处理器内核 Cortex-Mo为基础,该处理器内核专门针对8位市场的 应用而设计。通过将该处理器内核与多种专用外设、高效 设计工具和具备成本优势的先进生产工艺相结合,英飞凌 为8位用户提供了卓越的替代性选择。。

以32位MCU取代8位MCU的趋势已经非常明显。比 如,市场观察人士认为德国几乎一半的开发商正在打算 讲行这种转换。原来价格水平一直是限制性因素。英飞 凌通过推出XMC1000突破了这一限制。全新产品将以 65nm制程在300mm晶圆上生产。采用多种单片机的用户 也可从中受益: XMC1000是2012年初推出的XMC4000家 族的良好补充。众多外设单元,比如定时器、模数转换 器和串行通信接口,结构上与XMC1400 Cortex M4产品 完全相同。扩展更为方便。对于高效软件开发而言,提 供免费开发环境DAVE。除了众多来自XMC4000的已有 外设集,XMC1000还具有当今8位单片机没有的特性(图 1)。比如,针对该细分市场的容量从8KB到200KB的闪 存。此外, 专用的外设单元使用户可以以专业且简单的 方式实现LED照明应用和高效电机控制。凭借嵌入式软件 IP保护解决方案,英飞凌将紧跟单片机市场出现的一个 日趋重要的潮流。

面向不同应用的三大产品系列

凭借其丰富的功能,XMC1000可多用于多种8位应用。其中包括电机控制、LED照明、数字电源转换、智能传感器、电容触控和LED显示等等。为此,全新XMC1000除了32MHz的32位Cortex-Mo内核之外,还具有许多全新功能,比如200KB闪存、功能强大的混合信号外设、触控和LED显示模块、已申请专利的LED调光和色彩控制模块、用于软件IP保护的128位AES安全加载器以及用于高效

电机控制的64MHz 算术协处理器。此外,凭借硬件纠错(ECC)和相应的内存测试功能,全新单片机满足欧洲家电销售安全标准IEC60730 class B的要求。

拥有三大产品系列(图2)和20多款产品的XMC1000 家族可面向不同的应用。比如,XMC1100入门系列是具备 基础功能的入门款产品。尽管如此,其功能依然先进,12 位模数转换器和16位定时器可生成不同的PWM模式。

XMC1200功能系列包含额外的针对具体应用的功能,比如用于LED色彩控制的外设单元和用于电容触控和LED显示的电路单元。此外,还有适用于扩展级温度范围(-40°-105°C)的产品型号。

XMC1300控制系列专门针对电机控制和数字电源转换应用。除了集成功能强大的捕获比较单元8(CCU8)之外,它还具备用于电机位置精确检测的位置接口单元(POSIF)和支持电机高效无传感器磁场定向控制(FOC)的算术协处理器——后者是本Cortex-Mo产品独具的功能。XMC1300系列也有温度范围高达105℃的型号。

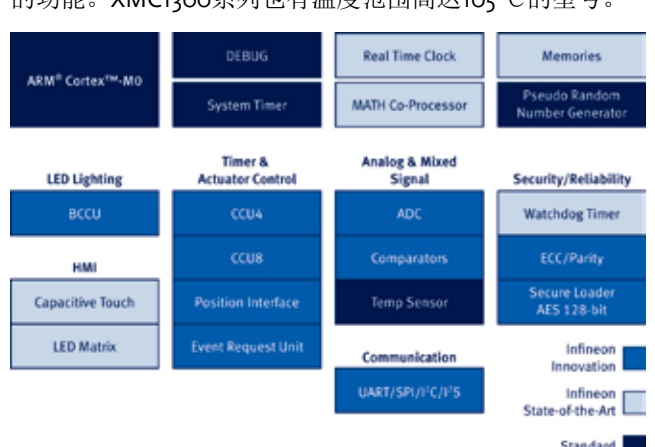
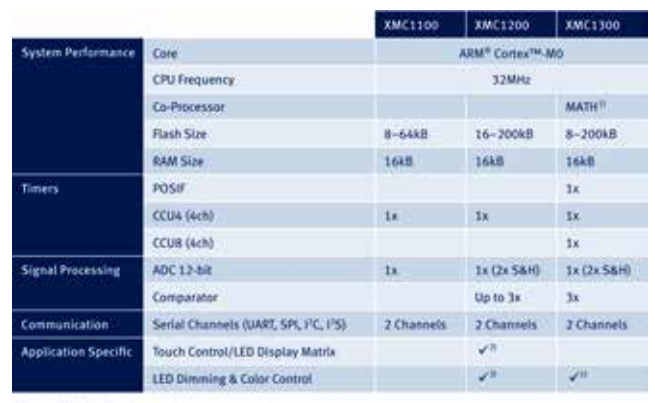


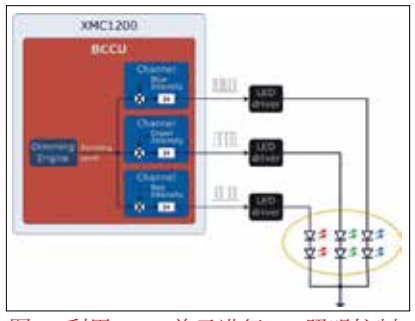
图1: 英飞凌采用ARM Cortex-Mo处理器内核的全新XMC1000 单片机以8位价格提供32位性能和创新功能



1) Not valid for all variants of this product series

2) Only for XMC1201 sub-series 1) Only for XMC1202 sub-series

图2: 三大系列 (XMC1100、XMC1200和XMC1300) ——针对 不同应用进行优化



对目标应用的 外设集

XMC1000家族针对不同的工业应集成多种强大的外设单元。

C C U 4 和 CCU8定时器单元

图3:利用BCCU单元进行LED照明控制 CCU8定时器

是XMC1ooo的其中外设。捕获比较单元4(CCU4)对于要求使用高效定时器以进行信号监控、处理和PWM信号生成的系统非常重要。比如,这有助于开关模式电源和UPS的实现。这种16位定时器单元包含四个相同的、可轻松级联的"定时器片"。定时器单元的这种模块性结构方便进行快速代码开发和简单移植。每个CCU定时器片可以比较模式(一个比较通道)或捕获模式(多达四个捕获寄存器)工作。此外,可支持生成多达四个独立的PWM信号。

CCU8支持更复杂的PWM信号生成(支持半桥结构所需的互补PWM)、多相控制等应用。这种功能结合高度灵活且可编程的信号整形操作,使CCU8成为功能强大的电机控制、多相多电平系统的理想选择。在比较模式下,每个定时器片有两个比较通道。这使得每个定时器片能生成多达四个PWM信号(每个CCU8单元能生成16个PWM),硬件死区时间生成可防止上下开关管短路。每个CCU8模块有四个服务信号生成,且可编程,可用于利用PWM信号触发A/D转换。

全新MCU(XMC₁₃oo)还包括用于支持增量式编码器接口、霍尔传感器和多通道控制的位置接口模块

(POSIF)。该模块用于进行输入信号滤波、边沿检测和 PWM控制,可用于各种电机控制应用。这使MCU在捕获 电机速度和位置的同时,可实现简单或复杂的控制方式

LEDTS(LED和触控)模块可用于HMI应用中LED和触控按键的控制,实现简单。

利用灵活的USIC接口模块,可实现不同的串行通信协议,比如ASC、SSC、I2C和 I2S。USIC模块具有两个独立的通信通道,同时提供一个专用FIFO,可满足某些应用的需求。

ADC模块采用逐次逼近形转换模式,分辨率可编程为8位、10位或12位。此外,每个通道可单独设置增益。在采样速率较高时,可利用FIFO机制以防止数据丢失。XMC1200/1300还集成了两个采样保持单元及高速模拟比较器。ADC转换操作可通过CCU4/CCU8定时器进功能强大、针行触发。

除以上功能外,芯片还提供伪随机数生成器、实时时钟(RTC)和窗看门狗定时器(WDT)。

创新的LED控制

XMC1200和XMC1300系列提供一个BCCU(亮度和色彩控制)单元。BCCU的基本功能是通过自动输出LED调光信号,通过I/O口输出并连接到外部LED驱动器(图3)。BCCU旨在对多通道LED灯进行自动调光和色彩控制。

BCCU 可进行自动、高频的功率密度调制(12位分辨率PDM)。可实现无闪烁显示。指数形调光和线性强度调节使得调光和色彩控制非常自然,能适应人眼需要。此外,支持多种高性能LED。

利用XMC1200系列的两个LEDTS模块,可驱动HMI应用中的LED和触控。与此同时,LEDTS可在RO(张弛振荡器)拓扑的帮助下测量多达8个触控板的电容。一个LED矩阵可控制多达64个(8x8)LED。这两个模块可相互同步,以进行优化。触控和LED可共享连接,最大限度减少所需的引脚数量。

高效的电机控制

CCU4/CCU8定时器单元和POSIF位置接口单元是客户可以通过简单的操作即可获得电机位置和速度信息,以高效的控制电机。此外,算术协处理器支持24位分辨率进行矢量旋转(PARK转换)操作,从而支持磁场定向控制等需要较大运算量的操作(图4)。

捕获比较单元4(CCU4)主要针对开关电源应用设计。比如,它可用于脉冲生成或利用抖频功能来稳定慢速

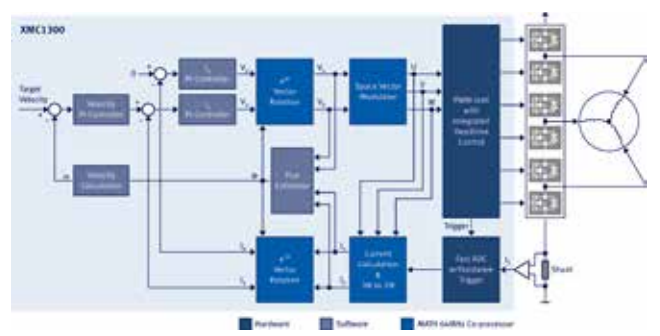


图4: 利用XMC1300单片机进行无传感器场定向控制

控制回路。还可与可编程的POSIF单元配合,支持增量编码器应用。利用POSIF可提高位置检测的准确度和同时软件比较简单,且相关数据可被同时采集。提供低通滤波器功能,可抑制来自霍尔传感器和增量编码器信号上噪音和干扰脉冲,这些干扰可能会是速度、位置检测出错。

利用CCU8和额外的比较通道,可为上升沿和下降沿设定不同的时延,并支持非对称PWM信号生成。典型应用包括三相全桥逆变器、太阳能模块三电平逆变器和半桥转换器。

算术协处理器包含一个32位除法器和一个24位 CORDIC单元,支持三角运算,运行频率64MHz。除法器和CORDIC单元可与Cortex-Mo CPU并行运行。算术协处理器将大幅增强算数处理能力,满足实时控制的需求。

IP安全

在单片机应用开发方面,专业化和分工不断推进。 比如,嵌入式软件设计公司、编程和生产服务提供商以及OEM之间的数据交换日趋频繁。在这方面,总有IP被窃取的风险,比如当采用商业许可模式进行交易时被非法拷贝和欺诈。在开发XMC1000时,英飞凌考虑到了这个日趋突出的问题,并提出了IP保护理念(图5)。英飞

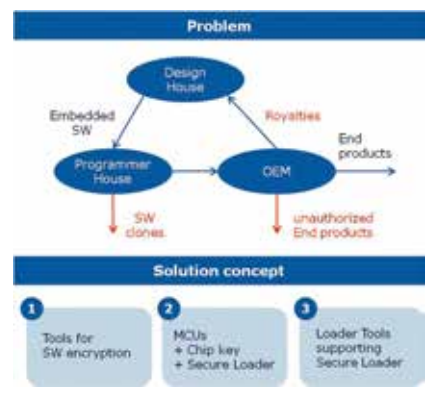


图5: 对于XMC1000家族,英飞凌开发了创新IP保护理念

凌在相关开发工整的支持。 作中还利用了来自芯片卡领域的XMC1000i 相关技术。方案开发的

有者提供加密嵌入式软件的工具,同时提供仅有针对特定 XMC1000单片机的密钥,从而Hex文件仅能在这些MCU上进行编程。与此同时,MCU上加载了与客户和/或项目相关的密钥,并以128位AES方法进行加密(由加载器工具支持的安全加载器模式)。MCU仅在加载过程中对代码进行解密,然后将代码保存进闪存,然后加密芯片。

高效开发支持

对于高效软件开发而言,可利用与XMC4000相同的开发环境DAVE,该开发环境可从英飞凌网站免费下载 (www.infineon.com/dave)。开发工具包括基于DAVE APP 的自动代码生成器、免费的GNU编译器和调试器,以及闪存加载器。此外,英飞凌与众多开发合作伙伴携手合作,这些合作伙伴在针对XMC1000提供软件解决方案、培训和技术支持之外,还提供专门开发工具,比如编译器、调试器、软件分析工具和闪存编程器。

DAVE支持基于经过测试的预定软件组件(DAVE APP)的自动代码生成。与传统程序库和示例程序方式不同,DAVE APP更为抽象,允许对多个DAVE APP进行简单图形组合。这使得硬件资源能被自动准确映射到芯片上。作为DAVE的补充,相应的DAVE APP也可供下载。这些应用可支持以太网、数据完整性和加密解决方案、PWM生成、不同的计数器和定时器应用场景、中断处理和DMA(直接内存访问)配置。DAVE APP将持续更新,且面向大范围应用。

由于DAVE是一个开放平台,因此可进行简单扩展和 改编。比如,用户可利用其熟悉的设计环境(IDE),并 毫无限制地充分利用DAVE提供的自动代码生成优势。

适用于XMC1000的简单评估工具是引导套件(boot kit),每个产品系列都有一个引导套件。结合DAVE、调试器和众多示例App,它们可为简单应用软件开发提供完整的支持。

对于举例应用,英飞凌提供专门应用套件。对于 XMC1000而言,从2013年5月起将提供用于LED照明解决 方案开发的套件以及用于标准和高效电机控制的套件。

供货时间

英飞凌正在纽伦堡的2013年嵌入式世界大会上展示全新XMC1000单片机(第4展馆,142号展台)。初始样品和引导套件将于2013年3月开始提供。封装选项为16、28和38针TSSOP。

www.infineon.com/xmc1000

耦合电感式升压转换器设计

考虑损耗项

作者: Gwanbon Koo, Youngsik Lee, 飞兆半导体公司

备中,比如智能手机摄像头模块等。尽管移动设备中的 可用电源为低压电池,但是仍需要高驱动电压来驱动压 电致动器以实现高性能。因此,需要一个具有高电压转 换比的升压转换器,可从几伏转换到几十伏或者一百多 伏。传统升压dc-dc转换器或升压转换器不适用于高电压 转换比,这是因为升压电感器的等效串联电阻(ESR)会阻 止输出电压提高到输入电压的10倍以上。本文介绍的是 一种耦合电感式高升压dc-dc转换器,另外还介绍其工作 原理以及设计时应考虑的事项。

要从移动设备中的低压电池驱动压 电致动器,需要的是一个多级转换器: 如图 1 所示,一个是可获得高驱动电压的 升压级,另一个是能有效驱动压电致动 器的桥级。

理想情况下, 传统升压转换器的电 压转换比在占空比增大到单位时会变为无 限大。但在实际情况下,它会因升压电感 器的铜损而受到限制。采用升压电感器的 ESR 进行的连续导通模式 (CCM) 操作的电 压转换比如下所示:

$$\frac{V}{V_g} = \frac{1}{1 - D} \frac{1}{\left(1 + \frac{R_L}{(1 - D)^2 R}\right)}$$
(1)

其中, V 为输出电压, V。为输入电压, D为占空比,R为负载电阻,R₁为升压电 感器的 ESR。转换比会随着 R, 与 R 比值的 增大而减小。图 2显示的是 ESR 的影响(以 图形方式)。值得注意的是,在R₁为负载 电阻 R 的 1% 时, 电压转换比不超过 5。

从构造上看, 压电致动器分为两种 类型:一种是单层,而另一种是多层。单

中其驱动电压会高达几百伏。多层压电致动器在峰到 峰方式中具有 20 到 60 V 左右的低驱动电压,但与单 层压电致动器相比较为昂贵。要实现较低的系统总体 成本,最好使用单层压电致动器。尽管移动设备中的 可用电源是低电压电池, 但它仍需要提供足够高的驱 动电压来驱动单层压电致动器。如之前所述, 传统升 压转换器因其电压转换率比较低而不适用于驱动单层 压电致动器。因此,需要一个具有高电压转换比的升 压转换器。

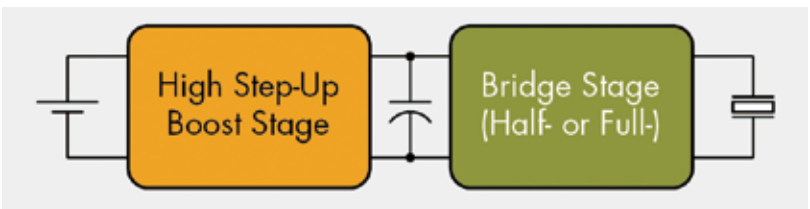


图1: 从低压电池驱动压电致动器的功率级

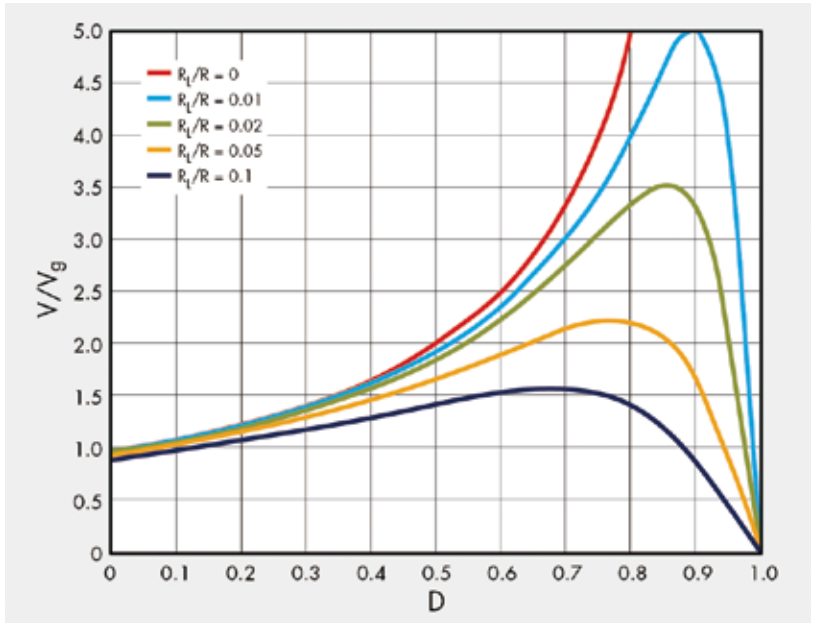


图2: 具有电感铜损的升压转换器的电压转换比

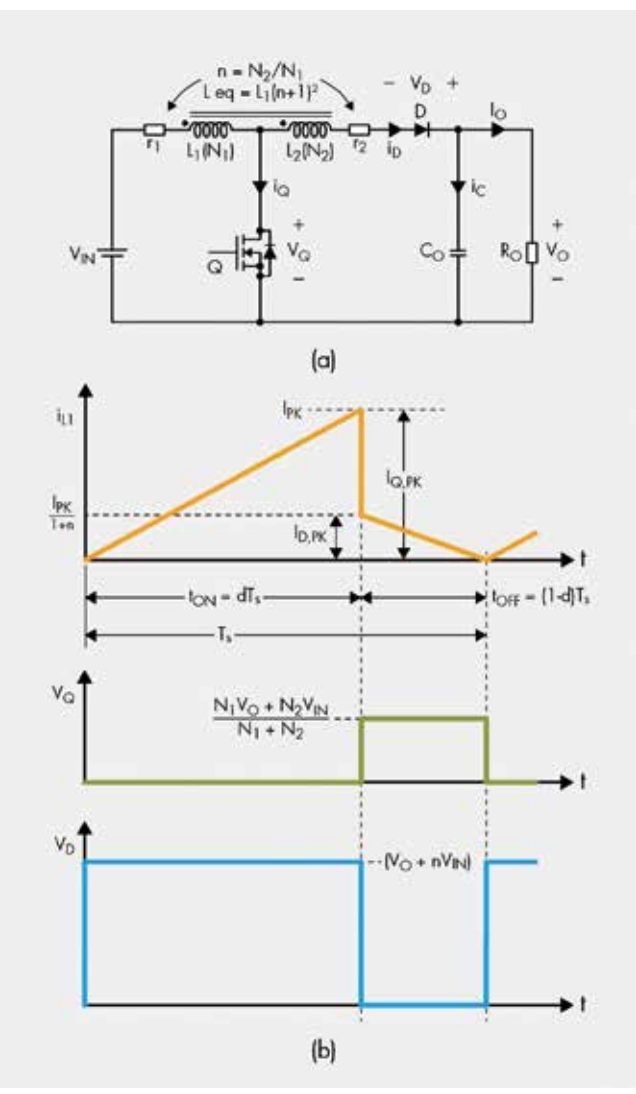


图3: (a) 耦合电感式升压转换器及(b)其主要波形: 电感器电 流,CRM操作期间的开关和二极管电压。

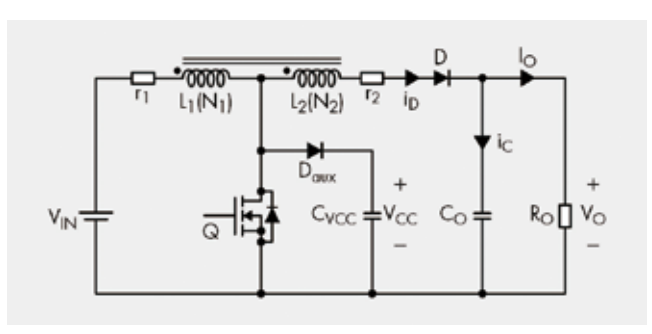


图4: 显示如何获得Vcc 的原理图

耦合电感式高电压转换比升压转换器

工作原理

为增加电压转换比,已提出了许多拓扑。其中,耦

合电感式升压转换器因电压转换比高、无额外组件、电 感器中绕组结构简单以及主开关上电压应力较低而得到 广泛关注。

图 3 显示的是耦合电感式升压转换器的原理图以 及关键导通模式 (CRM) 操作时的主要波形。如果匝数 比 n 为零,即 N,为零,那么它就等同于传统升压转换 器。主开关 (Q) 打开时, io(t) 会在 L, 范围内随斜率 V_{IN} 而增大,从而导致能量在 L1 中积聚。由于次级匝数 N2 两端的电压为 nV_{IN} , 因此二极管电压 $v_{D}(t)$ 为 $V_{O}+nV_{IN}$, 如图 3(b) 中所示。在 Q 关闭后,整个电感器 Lea 两端 的电压变为 Vo-Vin, 因此二极管电流 ip(t) 在 Lea 范围 内随斜率 Vo-Vin 而减小。由于初级匝数 Ni 两端的电 压在 N_1+N_2 范围内为 $N_1(V_0-V_{IN})$, 对于高电压转换比, 在 N, 大于 N, 时, 开关电压 $v_0(t)$ 在 N_1+N_2 范围内为 (N₁V₀+N₂V_{IN}), 低于 V₀。

电压转换比可由施加在 L2 上的电压总和乘以其在某 个转换周期为零时的持续时间而获得,如下所示:

$$nV_{1N} \cdot dT_s + (V_{1N} - V_O) \frac{N_2}{N_1 + N_2} \cdot (1 - d) T_s = 0$$

 $\rightarrow \frac{V_O}{V_{1N}} = \frac{1 + nd}{1 - d} = G$ (2)

由于输出电压由等式 (2) 获得,因此 ID,PK 可用 IPK 表示,如下所示:

$$I_{D,PK} = \frac{\frac{1+nd}{1-d}V_{|N} - V_{|N}}{(1+n)^2L_1}(1-d)T_s = \frac{I_{PK}}{1+n}$$
(3)

根据等式 (2), 电压转换比取决于耦合电感器的匝数 比。如果匝数比为 3,则电压增益在占空比为 0.7 时会大 于10。与传统升压转换器相比,它比较大。因此,可通过 调节匝数比,从低压电池产生足够的输出电压来驱动压电 致动器。如图3中所示, 主开关上的电压应力要比传统升 压转换器的低得多。因此, 可以减少开关损耗, 尤其是电 容放电损耗。但是, 主开关的峰值电流是传统升压转换器 的 1+n 倍,这是该拓扑的其中一个缺点。此外,二极管的 电压应力也会增加。

设计考虑因素

确定匝数比和占空比

要进行控制 IC 的操作, 电源电压 Vcc 应从低压电池产 生,如图4所示。

主开关关闭后, 耦合电感器初级端漏电感中的能量

乎由箝位至输入电压和初级端磁化电感电压总和的主开关 多的裕量再次确定匝数比和占空比。 漏电压确定,如下所示:

$$V_{CC} = V_{Q,DS} = V_{IN} + \frac{V_O - V_{IN}}{n+1} = \frac{V_O + nV_{IN}}{n+1}$$
 (4)

因此, 匝数比可由下列等式计算得出:

$$n = \frac{V_O - V_{CC}}{V_{CC} - V_{IN}} \tag{5}$$

要保证控制 IC 的正常操作,尤其是主开关的栅极驱动, Vcc 的最小电压应当大于 13 V。要确定匝数比,还必须考虑 输入电压变化。

获得耦合电感器的匝数比后, 占空比可根据下列等式 (2) 确定:

$$d = \frac{G - 1}{G + n} \tag{6}$$

与传统升压转换器一样,耦合电感式升压转换器 的电压转换比或电压增益也会因所采用电感中的传导 损耗而受到限制。由于匝数更多,与传统升压转换器 相比,耦合电感器的 ESR 更大,因此电压转换比或电 压增益也更大。采用升压电感器的 ESR 进行的 CCM 或 CRM 操作,其电压转换比可按下列等式获得:

$$\frac{V_{O}}{V_{IN}} = \frac{1+nd}{1-d} \frac{1}{\left(1 + \frac{I_{L}}{R(1-d)} + \frac{\eta d(1+n)^{2}}{R(1-d)^{2}}\right)}$$
(7)

其中,R为负载电阻,r,为初级端ESR,r,为n 与次级端 ESR r, 之和, 如图 3 所示。如等式 (7) 所示, 下降系数会随着耦合电感器匝数比的增大而变得显 著,从而获得高电压转换比。图5以图形方式显示了 等式 (7),其中以 n=7、R=5,500 Ω 和 r_1 =1.5 Ω 、3.0 Ω 以及 5.0 Ω 作为示例。

与红色曲线 $(r_i=o\ \Omega)$ 中的理想情况相比,采用 ESR的实际情况在占空比增大时会显示较低的电压 增益。以占空比为 0.9 为例,在 $r_1=1.5$ Ω 时,电压 增益可从 70 以上减小到 60 左右。即使占空比为 0.8,

会被转移到 V_{cc} 电容器 C_{vc} , 假设主开关的 C_{oss} 小于 C_{vcc} 。 在 $r_1=1.5$ Ω 时,电压增益也会减少大约 2 或 3。因此,需 它与具有超大缓冲电容器 (Cvc) 的 RCD 缓冲器的操作类似。 要检查形成耦合电感后测得的 ESR 电压增益是否足以满足 获得 Vcc 的操作几乎与采用初级端漏电感作为升压电感器 预先确定的占空比的输出电压规范。如果不满足,则设计 的升压操作相同。假设 Vcc 的升压操作为 CCM,则 Vcc 几 人员应通过增加耦合电感器的导线厚度减小 ESR,或用更

磁化电感

在 CRM 操作中,耦合电感器的磁化电感可通过电感器 电流的斜率获得,如图6所示。在torr期间,电感器电流 会流过二极管,并且在一个转换周期内其平均值与规范给 定的负载电流Iout相等。二极管电流的平均值按照下列等

$$l_{OUT} = \frac{l_{D,PK} \times (1-d)}{2}$$
(8)

因此, 二极管峰值电流按下列等式表示:

$$I_{D,PK} = \frac{2I_{OUT}}{1-d} \tag{9}$$

根据等式(3), 主开关的峰值电流由下列等式获得:

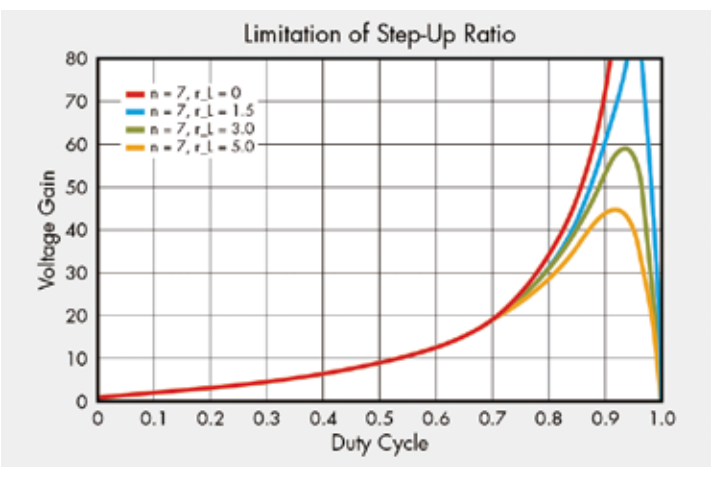


图5: 采用电感器的ESR的耦合电感式升压转换器的电压转换比

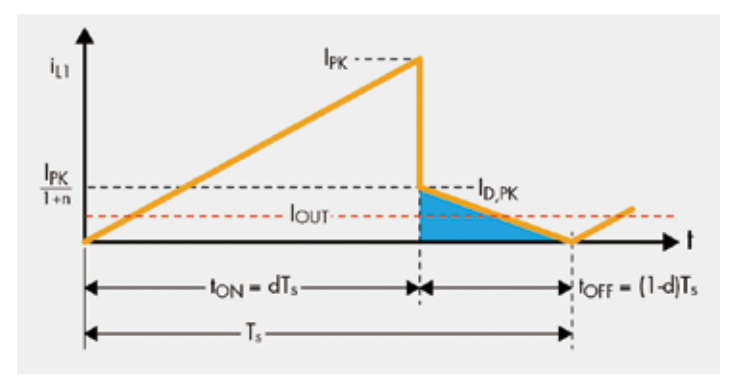


图6: 耦合电感器的电流波形

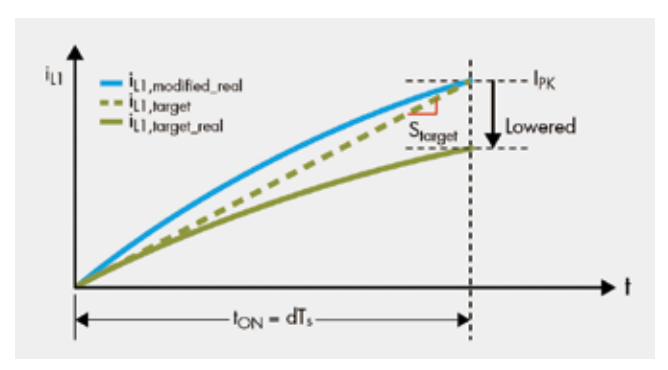


图7: 考虑ESR和Rds(on)的耦合电感器的电流波形

$$I_{PK} = \frac{2I_{OUT}}{1-d}(1+n) \tag{10}$$

根据等式 (1o), 耦合电感器的初级端磁化电感如下列 等式所示:

$$L_{1} = \frac{V_{IN}dT_{s}}{I_{PK}} = \frac{V_{IN}d(1-d)T_{s}}{2I_{OUT}(1+n)}$$
(11)

要获得电感的更精确等式, 必须考虑系统效率。在转 换器中存在许多损耗因素,比如电感器的 ESR、MOSFET 式计算: 的导通电阻、二极管的正向压降、变压器的非理想耦合等。 甚至是非损耗因素的电源Vcc的能量也不包含在效率计算 中。对于所有类型的损耗项,它可分成两类。第一类是耦 合电感后的损耗,这是就二极管正向压降、Vcc 电源以及 耦合电感器的非理想耦合等功率流而言。在该情况下,应 增大等式 (10) 中所需的峰值电流,这样不仅能承载输出功 率而且也能承载第一个损耗项。另一方面,由于无论损耗 项如何,输出负载电流都保持恒定,因此等式(9)中计算 的二极管峰值电流不变。因此,这些与耦合电感、二极管 以及 Vcc 电源相关的损耗因素会影响匝数比,所以等式 (10) 结论 和 (11) 中的 Ipk 和 L, 应按下列等式修改:

$$l_{PK} = \frac{2l_{OUT}}{1-d} \left(1 + \frac{n}{n}\right) \tag{1}$$

$$L_1 = \frac{V_{IN}dT_s}{I_{PK}} = \frac{V_{IN}d(1-d)T_s}{2I_{OUT}\left(1+\frac{n}{\eta}\right)}$$
(13)

其中 η 为系统的预期效率。

第二类是耦合电感前的损耗,比如电感器的 ESR 以 及 MOSFET 的 R_{ds(on)}。开关的实际峰值电流会因这些损耗 而低于预期值。电感器电流增大时,ESR 和 R_{ds(on)}上的电 压降也会增大。因此,施加在 L, 上的电压会在 ton 期间随

时间而下降,从而使开关电流的斜率越来越小,如图7中 所示。

用等式 (13) 计算得出的电感 L,, 预期会使峰值开关 电流在ton期间达到Ipk,如图7中的虚线所示。峰值开关 电流 Ipx 从等式 (12) 获得,它在 toff 期间允许提供指定的 负载电流。但是,由于 ESR 和 R_{ds(on)} 的关系,电感器电流 的斜率会随着电感器电流的增大而变小,从而使电感器的 实际峰值电流低于原始目标 1847,如图 7 中的蓝色实线所示。 流经 ESR、ri 和 R_{ds(on)} 的电感器电流的实际轨迹可由下列 等式表示:

$$i_{L_1}(t) = \frac{V_{|N|}}{r_1 + R_{ds(on)}} \left(1 - e^{-\frac{r_1 + R_{ds(on)}}{L_1}}\right)$$
(14)

要获得 $t=t_{ON}$ 时所需的 I_{PK} ,可通过下列等式得出。

$$I_{PK} = \frac{V_{IN}}{r_1 + R_{ds(on)}} \left(1 - e^{-\frac{r_1 + R_{ds(on)}}{L_1} t_{ON}} \right)$$
(15)

因此,要生成图7中的红色实线曲线,电感按下列等

$$L_{1} = -\frac{\left(r_{1} + R_{ds[on]}\right) \cdot t_{ON}}{\ln\left(1 - \frac{I_{PK}\left(r_{1} + R_{ds[on]}\right)}{V_{IN}}\right)}$$

$$(16)$$

总之,如果考虑所有损耗项,应当首先用等式(12) 计算所需的 IpK, 然后用等式 (16) 计算电感 L₁。另一方面, 所有损耗都可忽略时,使用等式 (1o) 和 (11) 已足够。

本文概述了低输入电压应用的设计考虑因素。要获得 更详细的设计参数, 必须考虑所有损耗项并在设计等式中 反映出来。采用本文中建议的等式,读者可成功设计自己

www.fairchildsemi.com.cn

WWW.POWERSYSTEMSDESIGNCHINA.COM

为汽车电子测试插上自动化的 翅膀

访北京泛华恒兴科技有限公司系统开发部经理助理、ATE方向 负责人阚宏伟



作者:刘洪, PSDC

▶ 二 年来,北京泛华恒兴科技有限 电子产品测试解决方案的开发和应 用方面取得了长足的进展, 许多汽 车零部件和整车厂商采用了该公司 开发的自动化生产测试系统。在公 司日前举办的2013年汽车电子测试 技术巡回研讨会上, 记者采访了系 统开发部经理助理、ATE方向负责人 汽车测试的需求及挑战 阚宏伟。

彰显"柔性测试"技术精髓

阚工介绍十多年来泛华一直在 为多家汽车厂商提供测试系统,发 现客户对于"测试"在整个产品研 发和生产中所扮演的角色越来越清 楚了,测试要求从分散性、随机性、 只为满足当前任务而转向长期化、系 统化。正是针对这种转变, 泛华提 出了"柔性测试"技术,并以其为 基础逐渐打造出针对行业测试的通 用平台,以通用技术平台配合大量 货架产品来满足测试需求, 在大幅

降低成本的同时,缩短了研发时间, 能够最大限度地满足可靠性、精确 性、适应性、灵活性和可扩展性。

汽车电子测试平台本身和柔性 测试技术不谋而合, 平台基础通过 重复应用验证可确保系统的可靠性: 开放构架可保证系统应用的灵活性 和可扩展性,平台上承载的专业积 累及货架产品可以提高其适用解决 专业问题的能力, 更精确地获取和 分析信号。

借助"柔性测试"技术, 污华 开发的各种针对汽车电子测试的系 统集中体现了虚拟仪器技术、接口 标准化与部件模块化、机电一体化、 网络技术等多个方面的技术。

阚宏伟介绍泛华利用行业经验 的积累和可很好替代国外公司产品的 货架产品(如故障注入、负载模块、 CAN 通讯卡、电阻卡等),提高了系 统的性价比;同时,Test On Demand 软件平台在汽车电子领域的深入和扩 展形成了丰富的算法包,能够更好地 满足汽车电子相关领域的测试要求。

以汽车传感器 EOL 测试为例, 阚 工分析了测试需求。目前,汽车上使 用的控制系统从功能上可分为传感器 单元、控制单元和执行单元部分。其中, 传感器单元是汽车智能化高技术的标 志, 具有独特而重要的地位, 其质量

的优劣直接影响汽车其它部位的有效 监测和控制,从而影响汽车的整体性 能。因此,汽车零部件厂商或整车厂 商都需要在传感器出厂或安装到整车 前用一种手段对传感器进行评价和验

随着汽车传感器向集成化、智能 化方向发展, 只进行终检测试, 发现 问题为时已晚, 所以往往测试与生产 过程交互进行。这就要求测试设备与 生产线上其他设备良好衔接, 同时实 现设备间的信息和数据共享。

因此, 汽车传感器生产测试需要 的不再是几台简单的测试仪器, 而是 一套机电软结合的、自动化的、便于 扩展、对外开放的测试设备。而这些 正是"柔性测试"技术所倡导的,采 用柔性技术设计的汽车传感器测试系 统能够符合传感器终检测试的要求, 并得到了实践的证明。

全面优化客户测试应用

多年的应用经验表明, 根本没有 一个放之四海而皆准的通用平台, 泛 华的 eCAR 汽车电子测试平台目前主 要针对汽车控制器类的测试, 包括功 能验证、耐久测试,将来计划扩展为 HIL 仿测一体的解决方案。在满足这 类测试时, 平台采用开放式构架, 有 助于将来的扩展。此外,平台设计的 目标是满足80%的复用、20%的定制, 针对特殊应用可以充分发挥泛华本地

下转 29 页

PCIM



ASIA

电力电子、智能运动 可再生能源与能源管理国际展览会与研讨会 2013年6月18-20日 上海世博展览馆

专注电力电子上游,优化系统解决方案,全新 助力智能运动、可再生能源(风能、太阳能) 及电动交通等领域!



PCIM Asia 2013 研讨会

汇集来自欧美、韩国、日本、中国香港、中国台湾及中国大 陆等众多专家及学者齐聚一堂,共同阐述电力电子发展趋势

研讨会期间将评出以下 4 个奖项:

青年工程师奖、优秀论文奖、可再生能源优秀论文奖 亚洲院校优秀论文奖,丰厚的奖金、技术交流平台 敬请随时关注 www.pcim-asia.com

PCIM Asia 2013 展览会

主要技术展品

分立半导体/功率器件:IGBT、MOSFET、二极管/整流器。 晶闸管、可控硅、功率模块、集成电路和光电元件等

无源器件:电容、电阻、滤波器、母线、电路保护、

磁性元件、连接器、传感器、继电器等

电源管理: AC-DC、DC-DC、电源模块、UPS。线性电源。

电磁感应与兼容。三相/单相电源滤波器等

散热管理:散热片、散热器、热管与导热材料、液冷散热、 水冷却系统等以及测试测量。伺服技术及软件和测试管理设备等

抢位热线:86-21-6095 6570/71 传真:86-21-6095 6574







StrongIRFET™高稳定性、 高可靠性MOSFET

技术规格

产品编号	B _{vdss}	ID@ 25°C	R _{DS(on)} max@ Vgs = 10V	Q g@ V gs = 10 V	封装
IRFH7004TRPbF	40 V	100 A	1.4 mΩ	134 nC	PQFN 5x6
IRFH7440TRPbF	40 V	85 A	2.4 mΩ	92 nC	PQFN 5x6
IRFH7446TRPbF	40 V	85 A	3.3 mΩ	65 nC	PQFN 5x6
IRF7946TRPbF	40 V	90 A	1.4 mΩ	141 nC	DirectFET 中罐
IRFS7437TRLPbF	40 V	195 A	1.8 mΩ	150 nC	D²-Pak
IRFS7440TRLPbF	40 V	120 A	2.8 mΩ	90 nC	D²-Pak
IRFS7437TRL7PP	40 V	195 A	1.5 mΩ	150 nC	D ² -Pak 7引脚
IRFR7440TRPbF	40 V	90 A	2.5 mΩ	89 nC	D-Pak
IRFB7430PbF	40 V	195 A	1.3 mΩ	300 nC	T0-220AB
IRFB7434PbF	40 V	195 A	1.6 mΩ	216 nC	T0-220AB
IRFB7437PbF	40 V	195 A	2 mΩ	150 nC	T0-220AB
IRFB7440PbF	40 V	120 A	2.5 mΩ	90 nC	T0-220AB
IRFB7446PbF	40 V	118 A	3.3 mΩ	62 nC	T0-220AB
IRFP7430PbF	40 V	195 A	1.3 mΩ	300 nC	T0-247

如有任何查询,请利用IR网上 [客户关系管理] 回执与我们联系。

网址: www.irf.com.cn/contact。

特性:

- 超低R_{DS(on)}
- 大电流能力
- 通过了工业认证
- 广泛的产品组合

应用:

- 电池组
- 逆变器
- UPS
- 太阳能逆变器
- DC电机
- ORing或热插拔

www.irf.com www.irf.com.cn

